

**МИНИСТЕРСТВО ОБРАЗОВАНИЯ И НАУКИ,  
МОЛОДЕЖИ И СПОРТА УКРАИНЫ**  
Национальный аэрокосмический университет им. Н.Е. Жуковского  
«Харьковский авиационный институт»

**ВОЛНОВАЯ И КВАНТОВАЯ ОПТИКА.  
ОСНОВЫ КВАНТОВОЙ МЕХАНИКИ И ФИЗИКИ ЯДРА**

Учебное пособие  
к практическим занятиям по физике

Харьков «ХАИ» 2012

УДК 535 + 539 (075.8)  
В 67

Запропоновано задачі з фізики за такими розділами: «Інтерференція», «Дифракція», «Поляризація. Ефект Доплера. Ефект Вавілова – Черенкова», «Теплове випромінювання», «Квантові властивості світла», «Основи квантової механіки», «Елементи фізики ядра».

На початку кожного розділу подано таблицю з основними формулами. Розглянуто приклади розв'язання задач.

У додатку наведено значення фундаментальних фізичних сталих, рекомендованих робочою групою CODATA (2010 р.).

Для студентів технічних вузів.

Авторский коллектив:

Д.А. Воронович, Н.И. Глущенко, О.И. Петрова, А.А. Таран, М.В. Варминский

Рецензенты: д-р техн. наук Ю.А. Загоруйко,  
канд. физ.-мат. наук, проф. В.М. Ванцан

В 67 Волновая и квантовая оптика. Основы квантовой механики и физики ядра [Текст]: учеб. пособие к практ. занятиям по физике/ Д.А. Воронович, Н.И. Глущенко, О.И. Петрова и др. – Х.: Нац. аэрокосм. ун-т им. Н.Е. Жуковского «Харьк. авиац. ин-т», 2012. – 72 с.

Предложены задачи по физике по следующим разделам: «Интерференция», «Дифракция», «Поляризация. Эффект Доплера. Эффект Вавилова – Черенкова», «Тепловое излучение», «Квантовые свойства света», «Осноы квантовой механики», «Элементы физики ядра».

В начале каждого раздела представлена таблица с основными формулами. Рассмотрены примеры решения задач.

В приложении приведены значения фундаментальных физических постоянных, рекомендованных рабочей группой CODATA (2010 г.).

Для студентов технических вузов.

Ил. 8. Табл. 8. Библиогр.: 14 назв.

УДК 535 + 539 (075.8)

© Авторский коллектив, 2012

© Национальный аэрокосмический  
университет им. Н.Е. Жуковского

«Харьковский авиационный институт», 2012

## Алгоритм решения задач

В процессе решения задач по физике у студентов вырабатывается умение применять общие теоретические законы и принципы к анализу и выяснению сущности конкретных физических явлений. Одновременно углубляются и закрепляются теоретические знания, появляется умение использовать математические методы в физических исследованиях. При решении задач развивается логическое мышление, укрепляются воля и вера в свои силы, которые играют решающую роль в творческой работе.

Целесообразно решать задачи в такой последовательности:

- 1) изучить условие задачи:
  - а) внимательно прочесть текст задачи;
  - б) выяснить смысл неизвестных терминов;
  - в) записать краткое условие задачи, указать искомые величины и выделить ее главные вопросы;
  - г) перевести заданные величины в единицы СИ;
- 2) проанализировать содержание задачи:
  - а) выяснить физический смысл задачи (о каких явлениях, фактах, свойствах тел, состояниях системы говорится в ней);
  - б) изобразить необходимые для решения графики, рисунки и т.п.;
  - в) внести дополнительные условия для получения однозначного ответа;
- 3) составить план решения, записав необходимые уравнения, связывающие исходные данные задачи с величинами, которые нужно найти;
- 4) решить уравнения, получив искомые величины в символьном виде;
- 5) определить размерности полученных величин и убедиться в их правильности;
- 6) подставить в полученный в символьном виде результат численные значения всех величин, взятых в единицах СИ, и произвести расчеты;
- 7) представить полученные при расчетах значения в нормализованной (научной, инженерной) форме записи числа, т. е. в виде  $a \cdot 10^n$ , где  $1 \leq a < 10$  (например,  $R = 10973731 \text{ м}^{-1}$  и  $\alpha = 0,007297$  представить в виде  $R = 1,0973731 \cdot 10^7 \text{ м}^{-1}$  и  $\alpha = 7,297 \cdot 10^{-3}$  соответственно);
- 8) проверить полученный результат, сопоставив его с результатами известных физических экспериментов, и оценить его правдоподобность.

Желаем успехов!

## З а н я т и е 1

### ИНТЕРФЕРЕНЦИЯ СВЕТА

При решении задач по данной теме целесообразно пользоваться формулами, приведенными в табл. 1.

Т а б л и ц а 1

| № п/п | Формула  | Название формулы  | Пояснение к формуле   |
|-------|--|---|---|
| 1     | $L = nr$   | Оптическая длина пути светового луча  | $n$ – показатель преломления среды;<br>$r$ – геометрическая длина пути светового луча   |
| 2     | $\Delta = L_2 - L_1 =$<br>$= n_2 r_2 - n_1 r_1$        | Оптическая разность хода световых лучей   | $n_1, n_2$ – показатели преломления сред, в которых распространяется свет;<br>$r_1, r_2$ – геометрические длины путей двух световых лучей |
| 3     | $\Delta\Phi = \frac{2\pi}{\lambda_0} \Delta$           | Связь между разностью фаз и оптической разностью хода световых лучей  | $\lambda_0$ – длина волны света в вакууме   |
| 4     | $\Delta = \pm 2m \frac{\lambda_0}{2} = \pm m\lambda_0$ | Условие максимума результирующей интенсивности света при интерференции  | $m$ – порядок интерференционного максимума<br>( $m = 0, 1, 2, \dots$ )  |
| 5     | $\Delta = \pm (2k - 1) \frac{\lambda_0}{2}$            | Условие минимума результирующей интенсивности света при интерференции   | $k$ – порядок интерференционного минимума<br>( $k = 1, 2, \dots$ )  |
| 6     | $\Delta x = \frac{L}{d} \lambda_0$                     | Расстояние между интерференционными максимумами (минимумами) на экране, размещенном параллельно двум когерентным источникам света | $d$ – расстояние между источниками света;<br>$L$ – расстояние от экрана до источников света<br>( $L \gg d$ )                              |

| № п/п | Формула   | Название формулы   | Пояснение к формуле   |
|-------|---|--|---|
| 7     | $2d\sqrt{n_2^2 - n_1^2 \sin^2 \alpha} =$ $= 2d n_2 \cos \beta =$ $= \begin{cases} (2m+1)\frac{\lambda_0}{2}, & \text{(а)} \\ m\lambda_0 & \text{(б)} \end{cases}$ | Условия усиления <b>(а)</b> и ослабления <b>(б)</b> света, отраженного от тонкой пленки, находящейся в среде с показателем преломления $n_1$ | $d$ – толщина пленки;<br>$n_2$ – показатель преломления вещества пленки;<br>$\alpha$ – угол падения света на пленку;<br>$\beta$ – угол преломления света;<br>$m = 0, 1, 2, \dots$<br>Условия усиления и ослабления для света, прошедшего сквозь пленку, обратные условиям для отраженного света   |
| 8     | $\Delta x = \frac{\lambda_0}{2n\gamma}$   | Ширина интерференционной полосы при интерференции света на клине   | $\gamma$ – угол клина   |
| 9     | $r_m = \begin{cases} \sqrt{mR\lambda} & \text{(а)} \\ \sqrt{(2m-1)R\frac{\lambda}{2}} & \text{(б)} \end{cases}$   | Радиусы темных <b>(а)</b> и светлых <b>(б)</b> колец Ньютона в отраженном свете  | $m$ – порядок кольца ( $m = 1, 2, \dots$ );<br>$R$ – радиус кривизны линзы.<br>В проходящем свете расположение темных и светлых полос обратно их расположению в отраженном свете.<br>$\lambda = \frac{\lambda_0}{n}$ – длина волны в среде, находящейся между пластиной и линзой;<br>$n$ – показатель преломления среды, находящейся между пластиной и линзой |

### Примеры решения задач

**Пример 1.** Над плоским зеркалом (рис. 1) расположен источник света  $S$  с длиной волны  $\lambda = 0,43$  мкм. В точку  $M$  на экране  $AB$ , перпендикулярном к плоскости зеркала, падают два луча: непосредственно луч  $SM$ , параллельный плоскости зеркала, и луч  $SOM$ , отраженный от зеркала в точке  $O$ . Источник находится на расстоянии  $h = 1$  мм от плоскости зеркала и на расстоянии  $L = 3$  м от экрана. Установить, что будет наблюдаться в точке  $M$  экрана – усиление или ослабление света.

Дано:  $\lambda = 4,3 \cdot 10^{-7}$  м,  $h = 10^{-3}$  м,  $L = 3$  м.

Найти  $m = \frac{\Delta}{\lambda/2}$ .

**Решение.** При определении оптической разности хода лучей  $\Delta$  необходимо учитывать, что при отражении света от оптически более плотной среды фаза колебаний изменяется на  $\pi$ . Оптическая разность хода лучей  $\Delta$  равна разности оптических длин лучей  $SOM$  и  $SM$ , уменьшенной на  $\lambda/2$ , что обусловлено изменением фазы колебаний при отражении луча от поверхности зеркала в точке  $O$ :

$$\Delta = SO + OM - \frac{\lambda}{2} - SM.$$

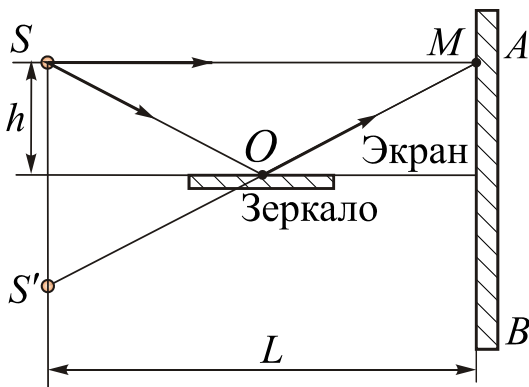


Рис. 1

Для нахождения  $\Delta$  поставим точку  $S'$  симметрично точке  $S$  относительно плоскости зеркала. Поскольку  $OS = OM$  и  $OS = OS'$ , то  $OM = OS'$ , следовательно,  $S'M = 2OS$ . Тогда для расчета интерференционной картины точку  $S$  и ее мнимое изображение  $S'$  можно рассматривать как когерентные источники света. Такой способ значительно упрощает расчет интерференционной картины, поэтому его широко применяют при решении задач.

Геометрическую разность хода лучей определим как

$$S'M - SM = \sqrt{L^2 + (2h)^2} - L = L \left( 1 + \frac{2h^2}{L^2} \right) - L = \frac{2h^2}{L}$$

(при этом учтено, что  $h \ll L$ , и тогда  $\left( 1 + \frac{4h^2}{L^2} \right)^{\frac{1}{2}} \approx 1 + \frac{2h^2}{L^2}$ ).

Отсюда оптическая разность хода лучей

$$S'M - SM - \frac{\lambda}{2} = \frac{2h^2}{L} - \frac{\lambda}{2}.$$

Вычислим количество полувольт, которые разместятся в этой оптической разности хода лучей:

$$m = \frac{\Delta}{\lambda/2} = \frac{4h^2}{\lambda L} - 1 = 3 - 1 = 2.$$

**Ответ:** поскольку оптическая разность хода лучей равна четному числу полувольт, то в точке  $M$  будет наблюдаться интерференционный максимум.

**Пример 2.** Прибор для получения колец Ньютона освещается монохроматическим светом, падающим по нормали к поверхности пластинки. Интерференционные кольца наблюдаются в отраженном свете. Радиусы двух соседних темных колец  $r_m = 4$  мм и  $r_{m+1} = 4,38$  мм. Найти порядковые номера колец и длину волны  $\lambda$  света. Радиус кривизны линзы  $R = 6,4$  м.

Дано:  $r_m = 4 \cdot 10^{-3}$  м,  $r_{m+1} = 4,38 \cdot 10^{-3}$  м,  $R = 6,4$  м.

Найти  $m$ ,  $m + 1$ ,  $\lambda$ .

**Решение.** Радиусы темных колец Ньютона определяют по формуле 9 (а) табл. 1:

$$r_m = \sqrt{mR\lambda},$$

где  $m = 1, 2, \dots$

Для  $m + 1$ -го темного кольца имеем

$$r_{m+1} = \sqrt{(m+1)R\lambda}.$$

Найдем отношение

$$\frac{r_{m+1}}{r_m} = \sqrt{\frac{m+1}{m}},$$

откуда

$$\frac{m+1}{m} = \frac{r_{m+1}^2}{r_m^2}.$$

Подставим числовые значения в полученное выражение:

$$\frac{m+1}{m} = \frac{4,38^2}{4^2} = 1,2 = \frac{6}{5}.$$

Следовательно,

$$m = 5, m + 1 = 6.$$

Длину волны света  $\lambda$  найдем из формулы 9 (а) табл. 1:

$$\lambda = \frac{r_m^2}{mR}.$$

Подставив в это выражение числовые значения, получим

$$\lambda = \frac{16 \cdot 10^{-6}}{5 \cdot 6,4} = 5 \cdot 10^{-7} \text{ м} = 0,5 \text{ мкм}.$$

Ответ:  $m = 5$ ;  $m + 1 = 6$ ;  $\lambda = 0,5$  мкм.

## Вариант 1.1

1.1.1. В воздухе распространяются два параллельных монохроматических когерентных луча ( $\lambda_1 = 0,63$  мкм). На пути одного из них поставили стеклянную плоскопараллельную кювету с раствором сахара так, что луч падает на ее стенки по нормали. Найти: а) оптическую разность хода лучей  $\Delta$ ; б) длину волны света  $\lambda_3$  в растворе сахара; в) разность фаз  $\Delta\Phi$  колебаний. Толщина стенок кюветы  $d = 1$  мм, ее длина  $l = 7$  см. Показатели преломления воздуха, стекла и раствора сахара соответственно  $n_1 = 1,00026$ ,  $n_2 = 1,57$ ,  $n_3 = 1,397$ .

1.1.2. Определить расстояние  $d$  между двумя источниками света в эксперименте с зеркалами Френеля, если расстояние между темными полосами на экране  $\Delta x = 3$  мм, а расстояние между мнимыми источниками и экраном  $L = 2$  м. Длина световой волны точечного источника  $\lambda = 0,6$  мкм.

1.1.3. На пути одного из лучей интерферометра Жамена поставили трубку длиной  $l = 10$  см, откачанную до высокого вакуума. При заполнении трубки хлором интерференционная картина для света с длиной волны  $\lambda = 590$  нм сместилась на  $m = 131$  полосу. Найти показатель преломления  $n$  хлора.

1.1.4. На мыльную пленку одинаковой толщины (показатель преломления  $n = 1,33$ ) в воздухе падает белый свет под углом  $\alpha = 30^\circ$ . При какой наименьшей толщине  $d$  пленки отраженный свет будет красным ( $\lambda = 0,63$  мкм)?

1.1.5. На поверхность стеклянной линзы нанесена тонкая пленка. Показатели преломления пленки и стекла, из которого изготовлена линза, соответственно  $n_1 = 1,34$  и  $n_2 = 1,8$ . На линзу падает белый свет. Вычислить наименьшую толщину  $d_{min}$  пленки, которая обеспечивает максимальное ослабление отраженного света с длиной волны, соответствующей середине интервала длин волн видимого излучения ( $\lambda = 0,57$  мкм). Считать, что свет на поверхность линзы падает по нормали к ней.

1.1.6. Прибор для получения колец Ньютона освещается светом с длиной волны  $\lambda = 589$  нм, которая падает по нормали к поверхности пластинки. Радиус кривизны линзы  $R = 10$  м. Прослойка между линзой и стеклянной пластинкой заполнена жидкостью. Найти показатель преломления  $n$  жидкости, если радиус третьего светлого кольца в проходящем свете  $r_3 = 3,65$  мм.

## Вариант 1.2

1.2.1. На пути луча света поставили стеклянную пластинку с показателем преломления  $n = 1,5$  и толщиной  $d = 1$  мм так, что угол падения луча  $\alpha = 30^\circ$ . Найти изменение  $\Delta$  оптической длины пути луча.

1.2.2. В интерферометре, подобном тому, с помощью которого Юнг впервые определил длину волны света, пучок солнечных лучей проходит сначала через све-

тофильтр и узкую щель, а затем падает на второе препятствие с двумя узкими щелями, которые находятся на расстоянии  $d = 1 \text{ мм}$  друг от друга. За последним препятствием на расстоянии  $L = 1 \text{ м}$  находится экран, на котором наблюдаются интерференционные полосы. Ширина полосы такова: а)  $\Delta x_1 = 0,65 \text{ мм}$  – для красного света; б)  $\Delta x_2 = 0,45 \text{ мм}$  – для синего света. Определить длину световой волны для данных случаев.

**1.2.3.** Для измерения показателя преломления аммиака в одно из плеч интерферометра Майкельсона поместили полую трубку длиной  $l = 14 \text{ см}$ . Концы трубки закрыли плоскопараллельными стеклами. При заполнении трубки аммиаком интерференционная картина сместилась на  $m = 180$  полос. Длина волны света, которым освещалась трубка,  $\lambda = 590 \text{ нм}$ . Найти показатель преломления аммиака.

**1.2.4.** Какую наименьшую толщину  $d_{min}$  должна иметь пластинка, сделанная из материала с показателем преломления  $n = 1,5$ , чтобы при освещении лучами с длиной волны  $\lambda = 750 \text{ нм}$ , перпендикулярными к поверхности пластинки, она в отраженном свете казалась: а) красной; б) черной?

**1.2.5.** Пучок света длиной волны  $\lambda = 582 \text{ нм}$  падает перпендикулярно к поверхности стеклянного клина. Угол клина  $\gamma = 20''$ . Какое число  $N$  темных интерференционных полос приходится на  $l = 1 \text{ см}$  длины клина? Показатель преломления стекла  $n = 1,5$ .

**1.2.6.** Прибор для получения колец Ньютона освещается монохроматическим светом, который падает перпендикулярно к поверхности пластинки. Радиус кривизны линзы  $R = 15 \text{ м}$ . Наблюдение осуществляется в отраженном свете. Расстояние между пятым и двадцать пятым светлыми кольцами Ньютона  $l = 9 \text{ мм}$ . Найти длину волны  $\lambda$  света.

### Вариант 1.3

**1.3.1.** Два источника, находящихся на расстоянии  $d$  друг от друга, излучают электромагнитные волны длиной  $\lambda$  в направлении угла  $\theta$  к удаленному приемнику. Определите разность  $\Delta\Phi$  фаз колебаний в месте расположения приемника, если источники колеблются синфазно. Угол  $\theta$  отсчитывается от линии, проходящей через середину прямой, соединяющей источники, перпендикулярно к этой прямой.

**1.3.2.** В установке, предложенной Ллойдом, световая волна, падающая непосредственно на экран от светящейся щели, интерферирует с волной, которая отражается от зеркала. Расстояние между щелью и плоскостью зеркала  $h = 1 \text{ мм}$ , расстояние между щелью и экраном  $L = 1 \text{ м}$ , длина световой волны  $\lambda = 500 \text{ нм}$ . Определить ширину  $\Delta x$  интерференционных полос.

**1.3.3.** Свет от лазера с длиной волны  $\lambda$  падает на непрозрачную поверхность перпендикулярно к ней. Поверхность имеет две узкие параллельные щели, расстояние между которыми  $d$ . Определить интенсивность света  $I$  как функцию

координаты  $x$  точек на экране, а также ее среднее значение  $\langle I \rangle$ . Интенсивность света от одного источника равняется  $I_0$ , расстояние между щелями и экраном –  $L$ .

**1.3.4.** На пленку толщиной  $d = 367$  нм падает под углом  $\alpha$  параллельный пучок белого света. Показатель преломления пленки  $n = 1,4$  (изменением  $n$  в зависимости от  $\lambda$  можно пренебречь). Какого цвета будет свет, отраженный пленкой для случаев, когда  $\alpha$  равняется: а)  $30^\circ$ ; б)  $60^\circ$ ?

**1.3.5.** На стеклянный клин перпендикулярно к его грани падает монохроматический свет с длиной волны  $\lambda = 0,66$  мкм. Количество интерференционных полос на  $l = 1$  см длины клина  $N = 10$ . Показатель преломления стекла  $n = 1,7$ . Определить угол клина  $\gamma$ .

**1.3.6.** Прибор для получения колец Ньютона освещается монохроматическим светом, который падает перпендикулярно к поверхности пластинки. Наблюдение осуществляется в отраженном свете. Расстояние между вторым и двадцатым темными кольцами  $l_1 = 4,8$  мм. Найти расстояние  $l_2$  между третьим и шестнадцатым светлыми кольцами Ньютона.

#### Вариант 1.4

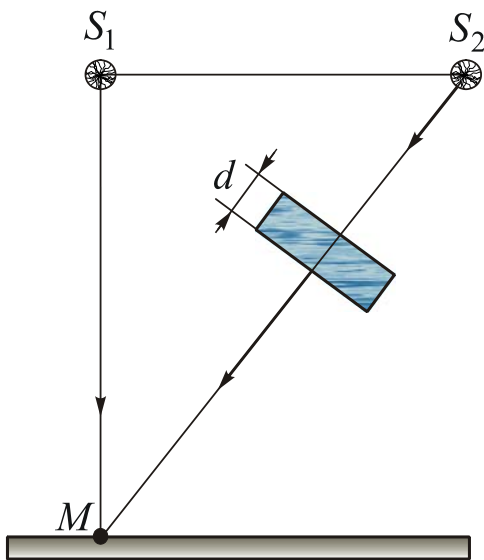


Рис. 2

**1.4.1.** Два когерентных источника света  $S_1$  и  $S_2$  с длиной волны  $\lambda = 0,5$  мкм находятся на расстоянии  $l = 2$  мм друг от друга. На расстоянии  $L = 2$  м от линии  $S_1S_2$  расположен экран (рис. 2). Точка  $M$  на экране является основанием перпендикуляра  $S_1M$  к экрану. На пути луча  $S_2M$  перпендикулярно к нему размещена плоскопараллельная пластина толщиной  $d = 10,5$  мкм. Она вносит дополнительную оптическую разницу хода лучей  $\Delta = 5,25$  мкм. Определить: а) что будет наблюдаться в точке  $M$  экрана (ослабление или усиление света), когда на пути луча  $S_2M$  стеклянная пластинка отсутствует;

б) показатель преломления  $n$  стекла, из которого изготовлена пластинка.

**1.4.2.** В интерференционной схеме с бипризмой Френеля расстояние между светящейся щелью и бипризмой  $a = 0,3$  м, расстояние между бипризмой и экраном  $b = 0,7$  м. Показатель преломления бипризмы  $n = 1,5$ . Для длины волны  $\lambda = 500$  нм определить: а) при каком значении угла преломления  $\Theta$  бипризмы ширина интерференционных полос будет  $\Delta x = 0,4$  мм; б) максимальное количество  $N_{max}$  полос, которые можно наблюдать в этом случае.

**1.4.3.** Две одинаковые радиомачты, расстояние между которыми  $d = 400$  м, работают синфазно на частоте  $\nu = 1,5$  МГц. В каких направлениях будут наблюдаться максимумы излучения? Угол  $\Theta$  отсчитывается от линии, которая проходит через середину прямой, соединяющей мачты, перпендикулярно к этой прямой.

**1.4.4.** Пучок белого света падает по нормали к поверхности стеклянной пластинки толщиной  $d = 0,4$  мкм. Показатель преломления стекла  $n = 1,5$ . Для каких длин волн видимого диапазона ( $\lambda = 400 \dots 700$  нм) наблюдается максимум интенсивности волн отраженного света?

**1.4.5.** Мыльная пленка, которая размещена вертикально, образует клин в результате стекания жидкости. При наблюдении интерференционных полос в отраженном свете ртутной дуги ( $\lambda = 546,1$  нм) оказалось, что расстояние между пятью полосами  $l = 2$  см. Найти угол клина. Свет падает перпендикулярно к поверхности клина. Показатель преломления мыльной воды  $n = 1,33$ .

**1.4.6.** Плосковыпуклая линза, повернутая выпуклой стороной вниз, закреплена неподвижно. Под линзой на небольшом расстоянии от нее находится стеклянная пластинка, которую можно перемещать по вертикали, вращая головку винта. Шаг винта  $h = 100$  мкм. Сверху линзу освещают светом с длиной волны  $\lambda = 500$  нм и наблюдают в отраженном свете кольца Ньютона. На сколько колец  $N$  изменится интерференционная картина, если повернуть винт на один оборот?

## З а н я т и е 2

### ДИФРАКЦИЯ СВЕТА

При решении задач по данной теме целесообразно пользоваться формулами, приведенными в табл. 2.

Т а б л и ц а 2

| №<br>п/п | Формула                                 | Название формулы  | Пояснение к формуле   |
|----------|---|---|---|
| 1        | $r_m = \sqrt{\frac{ab}{a+b}} m \lambda$ | Радиус внешней границы $m$ -й зоны Френеля                        | $a$ – радиус волновой поверхности;<br>$b$ – расстояние от вершины волновой поверхности до точки наблюдения; |
| 2        | $r_m = \sqrt{b m \lambda}$              | Радиус внешней границы $m$ -й зоны Френеля в случае плоской волны | $\lambda$ – длина волны; $m = 1, 2, \dots$  |

| №<br>п/п | Формула  | Название формулы   | Пояснение к формуле   |
|----------|--|--|---|
| 3        | $A = \frac{A_1}{2} \pm \frac{A_m}{2}$              | Амплитуда волны при дифракции Френеля на круглом отверстии   | $m$ – количество открытых зон Френеля;<br>$A_1$ и $A_m$ – амплитуды колебаний, возбуждаемых 1-й и $m$ -й зонами Френеля в точке наблюдения;<br>“+” – для четных $m$ ;<br>“–” – для нечетных $m$ |
| 4        | $A = \frac{A_{m+1}}{2}$                            | Амплитуда волны при дифракции Френеля на круглом диске   | $m$ – количество зон Френеля, закрытых диском;<br>$A_{m+1}$ – амплитуда колебаний, возбуждаемых $(m + 1)$ -й открытой зоной Френеля   |
| 5        | $b(\sin \varphi - \sin \varphi_0) = \pm m \lambda$ | Условие минимумов освещенности при дифракции Фраунгофера на щели   | $b$ – ширина щели;<br>$\varphi$ – угол дифракции;<br>$\varphi_0$ – угол падения света на щель;<br>$m$ – порядок дифракционных минимумов ( $m = 1, 2, \dots$ )                                   |
| 6        | $d(\sin \varphi - \sin \varphi_0) = \pm m \lambda$ | Условие главных фраунгоферовых максимумов при дифракции света на дифракционной решетке                                 | $d$ – постоянная решетки;<br>$\varphi$ – угол дифракции;<br>$\varphi_0$ – угол падения света на решетку;<br>$m$ – порядок главных дифракционных максимумов ( $m = 1, 2, \dots$ )                |
| 7        | $2d \sin \theta = \pm m \lambda$                   | Формула Вульфа – Брэгга. Условие дифракционных максимумов при дифракции рентгеновских лучей на кристаллической решетке | $d$ – расстояние между атомными плоскостями кристалла;<br>$\theta$ – угол скольжения лучей;<br>$m$ – порядок дифракционных максимумов ( $m = 1, 2, \dots$ )                                     |

### Примеры решения задач

**Пример 1.** На круглое отверстие радиусом  $R = 1$  мм падает перпендику-

лярно к его плоскости параллельный пучок света (длина волны  $\lambda = 0,5 \text{ мкм}$ ). На пути лучей, прошедших через отверстие, помещен экран. Определить максимальное расстояние между отверстием и экраном, при котором в центре дифракционной картины будет наблюдаться темное пятно.

Дано:  $\lambda = 5 \cdot 10^{-7} \text{ м}$ ,  $R = 10^{-3} \text{ м}$ .

Найти  $b_{max}$ .

Решение. Так как лучи света параллельны, то воспользуемся формулой 2 табл. 2 для определения радиусов внешних границ зон Френеля:

$$r_m = \sqrt{b m \lambda}.$$

В центре дифракционной картины будет темное пятно в том случае, когда количество зон Френеля, укладывающихся в отверстии, четное. При этом  $r_m = R$ . Тогда

$$R = \sqrt{b m \lambda} \text{ и } b = \frac{R^2}{m \lambda}.$$

Следовательно,

$$b_{max} = \frac{R^2}{m_{min} \lambda},$$

т. е. максимальное расстояние, при котором в центре экрана будет наблюдаться темное пятно, определяется условием, согласно которому в отверстии должно помещаться наименьшее четное количество зон Френеля ( $m_{min} = 2$ ).

Таким образом,

$$b_{max} = \frac{R^2}{2 \lambda} = \frac{10^{-6}}{2 \cdot 5 \cdot 10^{-7}} = 1 \text{ м}.$$

Ответ:  $b_{max} = 1 \text{ м}$ .

**Пример 2.** На дифракционную решетку перпендикулярно к ее плоскости падает параллельный пучок лучей с длиной волны  $\lambda = 0,5 \text{ мкм}$ . Расположенная поблизости от решетки линза проецирует дифракционную картину на плоский экран, удаленный от линзы на расстояние  $L = 1 \text{ м}$ . Расстояние между двумя максимумами первого порядка, наблюдаемыми на экране,  $a = 2,1 \text{ см}$ . Определить: а) постоянную дифракционной решетки  $d$ ; б) количество штрихов решетки  $N_0$ , приходящихся на  $l = 1 \text{ см}$  ее длины; в) максимальное количество  $N_{max}$  главных дифракционных максимумов, которое позволяет получить дифракционная решетка; г) максимальный угол отклонения лучей  $\varphi_{max}$ , соответствующий последнему дифракционному максимуму.

Дано:  $\lambda = 5 \cdot 10^{-7}$  м,  $L = 1$  м,  $m = 1$ ,  $a = 2,1 \cdot 10^{-2}$  м,  $l = 10^{-2}$  м.

Найти  $d$ ,  $N_0$ ,  $N_{max}$ ,  $\varphi_{max}$ .

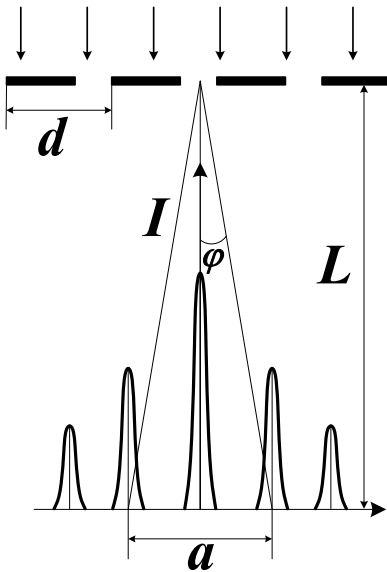


Рис. 3

**Решение. 1.** Запишем условие главных максимумов при дифракции на дифракционной решетке (формула 6 табл. 2):

$$d(\sin \varphi - \sin \varphi_0) = \pm m\lambda.$$

Так как  $m = 1$ ,  $\varphi_0 = 0$ , то постоянная дифракционной решетки

$$d = \frac{\lambda}{\sin \varphi}. \quad (2.1)$$

Поскольку  $\frac{a}{2} \ll L$ , то

$$\sin \varphi \approx \operatorname{tg} \varphi = \frac{a}{2L}. \quad (2.2)$$

Подставив выражение (2.2) в (2.1), получим

$$d \approx \frac{2\lambda L}{a} = \frac{2 \cdot 5 \cdot 10^{-7} \cdot 1}{2,1 \cdot 10^{-2}} = 4,76 \cdot 10^{-5} \text{ м} = 47,6 \text{ мкм}.$$

2. Количество штрихов, приходящихся на  $l = 1$  см длины решетки, найдем по формуле

$$N_0 = \frac{l}{d} = \frac{10^{-2}}{4,76 \cdot 10^{-5}} = 210.$$

3. Для определения количества главных максимумов, которые позволяет получить дифракционная решетка, рассчитаем значение  $m_{max}$  при условии, что максимальный угол отклонения лучей не может превышать  $90^\circ$ :

$$m_{max} \leq \frac{d \sin 90^\circ}{\lambda} = \frac{d}{\lambda} = \frac{4,76 \cdot 10^{-5}}{5 \cdot 10^{-7}} = 95,2.$$

Число  $m_{max}$  обязательно должно быть целым, и оно не может превышать значения **95,2**. Следовательно,  $m_{max} = 95$ . Общее количество максимумов с учетом нулевого

$$N_{max} = 2m_{max} + 1 = 191.$$

4. Максимальный угол отклонения лучей, соответствующий последнему дифракционному максимуму, найдем по формуле

$$\sin \varphi_{max} = \frac{m_{max} \lambda}{d}.$$

Тогда  $\varphi_{max} = \arcsin\left(\frac{m_{max}\lambda}{d}\right)$ .

После подстановки в полученное выражение числовых значений имеем

$$\varphi_{max} = \arcsin\left(\frac{95 \cdot 5 \cdot 10^{-7}}{4,76 \cdot 10^{-5}}\right) = 86^{\circ}17'.$$

Ответ: а)  $d = 47,6 \text{ мкм}$ ; б)  $N_0 = 210$ ; в)  $N_{max} = 191$ ; г)  $\varphi_{max} = 86^{\circ}17'$ .

### Вариант 2.1

**2.1.1.** Точечный источник света с длиной волны  $\lambda = 500 \text{ нм}$  помещен перед непрозрачной преградой на расстоянии  $a = 0,5 \text{ м}$ . Преграда имеет круглое отверстие радиусом  $R = 0,5 \text{ мм}$ . Определить расстояние  $b$  от преграды до точки, для которой количество открытых зон Френеля  $m$  равно: а) **1**; б) **5**.

**2.1.2.** Дифракционная картина наблюдается на расстоянии  $L = 4 \text{ м}$  от точечного источника монохроматического света ( $\lambda = 500 \text{ нм}$ ). Посредине между экраном и источником помещена диафрагма с круглым отверстием. При каком радиусе отверстия  $R$  центр дифракционных колец, наблюдаемых на экране, будет темным?

**2.1.3.** На щель шириной  $b = 3 \text{ мкм}$  падает по нормали к ней плоская световая волна ( $\lambda = 0,5 \text{ мкм}$ ). Найти количество  $N$  максимумов интенсивности на экране, которые наблюдаются в фокальной плоскости линзы, расположенной между щелью и экраном.

**2.1.4.** Квадратное отверстие освещается пучком солнечных лучей. Найти размер  $L \times L$  изображения отверстия на экране, удаленном от отверстия на расстояние  $b = 50 \text{ м}$ . Сторона отверстия  $L_0 = 0,2 \text{ см}$ . Границей освещенности на экране считать положение первого дифракционного минимума для тех лучей, которые отклоняются сильнее всего ( $\lambda_{красн} = 760 \text{ нм}$ ).

**2.1.5.** Спектры дифракционной решетки, имеющей  $N = 100$  штрихов на  $l = 1 \text{ мм}$  ее длины, наблюдаются на экране, расположенном параллельно решетке на расстоянии  $L = 1,8 \text{ м}$  от нее. Определить длину волны  $\lambda$  монохроматического света, падающего нормально на решетку, если расстояние между спектром второго порядка и центральной светлой полосой  $a = 21,4 \text{ см}$ .

**2.1.6.** На грань кристалла падает параллельный пучок рентгеновских лучей с длиной волны  $\lambda = 1,47 \text{ \AA}$ . Расстояние между атомными плоскостями кристалла  $d = 2,8 \text{ \AA}$ . Под каким углом  $\theta$  к плоскости грани наблюдается дифракционный максимум второго порядка?

## Вариант 2.2

**2.2.1.** Точечный источник света с длиной волны  $\lambda = 550 \text{ нм}$  помещен перед непрозрачной преградой на расстоянии  $a = 1 \text{ м}$ . Преграда имеет отверстие радиусом  $R = 2 \text{ мм}$ . Определить: а) минимальное количество открытых зон Френеля, которое может наблюдаться при этих условиях; б) расстояние  $b_m$  между преградой и точкой наблюдения, при котором получается минимально возможное количество открытых зон Френеля; в) радиус отверстия  $R_1$ , при котором может быть открыта только одна центральная зона Френеля.

**2.2.2.** На диафрагму с отверстием диаметром  $D = 1,96 \text{ мм}$  падает нормально параллельный пучок монохроматического света ( $\lambda = 600 \text{ нм}$ ). При каком наибольшем расстоянии  $b_{max}$  между диафрагмой и экраном в центре дифракционной картины еще будет наблюдаться темное пятно?

**2.2.3.** На щель шириной  $b = 6\lambda$  падает нормально параллельный пучок монохроматического света с длиной волны  $\lambda$ . Под каким углом  $\varphi$  будет наблюдаться третий дифракционный минимум света?

**2.2.4.** На щель шириной  $b = 0,1 \text{ мм}$  падает нормально параллельный пучок лучей с длиной волны  $\lambda = 500 \text{ нм}$ . Дифракционная картина наблюдается на экране, размещенном на расстоянии  $L = 1 \text{ м}$  от щели. Найти расстояние  $a_{12}$  между центрами первой и второй дифракционных полос на экране, а также ширину  $a_0$  изображения щели (расстояние между минимумами первого порядка).

**2.2.5.** Какой наибольший порядок  $m_{max}$  спектра можно видеть в дифракционной решетке, которая имеет  $N = 500$  штрихов на  $l = 1 \text{ мм}$  ее длины, при освещении ее светом  $\lambda = 700 \text{ нм}$ ?

**2.2.6.** Узкий пучок рентгеновских лучей падает под углом скольжения  $\theta = 60^\circ$  на естественную грань монокристалла  $\text{NaCl}$ , плотность которого  $\rho = 2,16 \cdot 10^3 \text{ кг/м}^3$ . При зеркальном отражении от этой грани образуется дифракционный максимум второго порядка ( $m = 2$ ). Определить длину  $\lambda$  волны излучения.

## Вариант 2.3

**2.3.1.** Дифракционная картина наблюдается на расстоянии  $L$  от точечного источника монохроматического света ( $\lambda = 600 \text{ нм}$ ). На расстоянии  $a = 0,5L$  от источника помещена круглая непрозрачная преграда диаметром  $D = 1 \text{ см}$ . Вычислить расстояние  $L$ , если преграда закрывает только центральную зону Френеля.

**2.3.2.** На непрозрачную преграду с отверстием радиусом  $R = 1 \text{ мм}$  падает монохроматическая плоская световая волна. Когда расстояние между преградой и

размещенным за ней экраном  $b_1 = 0,75 \text{ м}$ , в центре дифракционной картины наблюдается максимум интенсивности. При увеличении расстояния до значения  $b_2 = 1,2 \text{ м}$  максимум интенсивности сменяется минимумом. Определить длину волны  $\lambda$  света.

2.3.3. На пути плоской световой волны  $\lambda = 0,54 \text{ мкм}$  поставили тонкую собирающую линзу с фокусным расстоянием  $F = 50 \text{ см}$ , непосредственно за ней – диафрагму с круглым отверстием и на расстоянии  $b = 75 \text{ см}$  от диафрагмы – экран. При каких радиусах  $R$  отверстия центр дифракционной картины на экране будет иметь максимальную освещенность?

2.3.4. При условии малости угла дифракции  $\varphi$  определить угловую  $\Delta\varphi$  и линейную  $\Delta x$  ширину центрального максимума для случая дифракции Фраунгофера на щели шириной  $b = 0,1 \text{ мм}$ . Длина волны, падающей на щель,  $\lambda = 0,5 \text{ мкм}$ . Фокусное расстояние линзы  $F = 0,2 \text{ м}$ .

2.3.5. На дифракционную решетку нормально падает пучок света от разрядной трубки, заполненной гелием. На какую линию  $\lambda_2$  в спектре третьего порядка накладывается красная линия гелия ( $\lambda_1 = 670 \text{ нм}$ ) из спектра второго порядка?

2.3.6. Пучок рентгеновских лучей с длиной волны  $\lambda$  падает под углом скольжения  $\theta_0 = 60^\circ$  на линейную цепочку рассеивающих центров с периодом  $a$ . Найти углы скольжения  $\theta$ , соответствующие всем дифракционным максимумам, при условии, что  $\lambda = 0,4a$ .

## Вариант 2.4

2.4.1. Интенсивность, создаваемая на экране некоторой монохроматической световой волной при отсутствии преград, равна  $I_0$ . Какова будет интенсивность  $I$  в центре дифракционной картины, если на пути волны поставить преграду с круглым отверстием, которое открывает: а) первую зону Френеля; б) половину первой зоны Френеля; в) полторы зоны Френеля; г) треть первой зоны Френеля?

2.4.2. Плоская монохроматическая световая волна падает нормально на круглое отверстие. На расстоянии  $b_1 = 9 \text{ м}$  от него находится экран, на котором наблюдается некоторая дифракционная картина. Диаметр отверстия уменьшили в  $n = 3$  раза. Найти новое расстояние  $b_2$  между экраном и отверстием, необходимое, чтобы получить на экране дифракционную картину, подобную той, которая наблюдалась в первом случае, но уменьшенную в  $n$  раз.

2.4.3. Белый свет падает по нормали на щель шириной  $b = 0,1 \text{ мм}$ . За щелью размещена линза, в фокальной плоскости которой поставлен экран. Оптическая сила линзы  $D = 5 \text{ дптр}$ . Найти ширину  $d$  радужного канта на границе центрального дифракционного максимума.

2.4.4. Свет с длиной волны  $\lambda = 0,5 \text{ мкм}$  падает на щель шириной  $b = 10 \text{ мкм}$  под углом  $\varphi_0 = 30^\circ$  к ее нормали. Найти угловое положение первых дифракционных минимумов, расположенных по обе стороны от центрального френгофенового максимума.

2.4.5. Расстояние между экраном и дифракционной решеткой, имеющей  $N = 125$  штрихов на длине  $l = 1 \text{ мм}$ , составляет  $L = 2,5 \text{ м}$ . Определить расстояние  $a$  между центральной и первой светлыми линиями на экране, если свет с длиной волны  $\lambda = 420 \text{ нм}$  падает на решетку нормально.

2.4.6. На стеклянную дифракционную решетку, имеющую  $N = 200$  штрихов на длине  $l = 1 \text{ мм}$  и покрытую тонким слоем золота, падает очень узкий пучок  $K_\alpha$ -излучения меди ( $\lambda = 1,541 \text{ \AA}$ ) под углом  $\alpha_0 = 20'$  к плоскости. Определить разность углов отражения  $\Delta\alpha$  между пучками первого и нулевого порядка.

### З а н я т и е 3

#### ПОЛЯРИЗАЦИЯ СВЕТА. ЭФФЕКТ ДОПЛЕРА. ЭФФЕКТ ВАВИЛОВА – ЧЕРЕНКОВА

При решении задач по данной теме целесообразно пользоваться формулами, приведенными в табл. 3.

Т а б л и ц а 3

| №<br>п/п | Формула   | Название формулы   | Пояснение к формуле  |
|----------|---|--|--|
| 1        | $\alpha_B = \arctg \frac{n_2}{n_1}$               | Условие полной поляризации света, отраженного от среды 2, при падении из среды 1 | $\alpha_B$ – угол падения луча (угол Брюстера);<br>$n_1$ и $n_2$ – абсолютные показатели преломления среды 1 и среды 2 соответственно  |
| 2        | $P = \frac{I_{max} - I_{min}}{I_{max} + I_{min}}$ | Степень поляризации  | $I_{max}$ и $I_{min}$ – максимальное и минимальное значения интенсивности света, прошедшего через идеальный поляризатор, поставленный на пути светового пучка.<br>Для плоскополяризованного света $P = 1$ ;<br>для естественного света $P = 0$ |

| № п/п | Формула   | Название формулы   | Пояснение к формуле   |
|-------|---|--|---|
| 3     | $I = I_0 \cos^2 \varphi$                                    | Закон Малюса.<br>Интенсивность плоскополяризованного света, прошедшего через идеальный поляризатор                         | $I_0$ и $I$ – интенсивности плоскополяризованного света, падающего на поляризатор и выходящего из поляризатора соответственно;<br>$\varphi$ – угол между плоскостью поляризации падающего плоскополяризованного света и главным сечением поляризатора |
| 4     | $I = \frac{1}{2} I_0$                                       | Интенсивность линейно поляризованного света, вышедшего из идеального поляризатора, при падении естественного света на него | $I$ – интенсивность линейно поляризованного света, вышедшего из идеального поляризатора;<br>$I_0$ – интенсивность естественного света, падающего на идеальный поляризатор   |
| 5     | $\Delta\Phi = \frac{2\pi}{\lambda_0} \Delta = 2\pi B l E^2$ | Закон Керра  | $\Delta = (n_o - n_n) l$ – оптическая разность хода обыкновенного и необыкновенного лучей на пути $l$ , соответствующая разности фаз $\Delta\Phi$ ;<br>$B$ – постоянная Керра;<br>$E$ – напряженность электрического поля                             |
| 6     | $I = I_0 e^{-\alpha l}$                                     | Закон Бугера – Ламберта – Бера   | $I$ – интенсивность света после прохождения через слой вещества толщиной $l$ ;<br>$I_0$ – интенсивность света, падающего на вещество;<br>$\alpha$ – коэффициент поглощения вещества   |
| 7     | $\cos \theta = \frac{c}{nv}$                                | Формула эффекта Вавилова – Черенкова   | $\theta$ – угол между волновым вектором $\vec{k}$ излучения и вектором скорости $\vec{v}$ частицы;<br>$n$ – абсолютный показатель преломления среды   |

| №<br>п/п | Формула  | Название формулы        | Пояснение к формуле  |
|----------|--|-------------------------|--|
| 8        | $\lambda = \lambda_0 \frac{1 - \frac{v}{c} \cos \theta}{\sqrt{1 - \frac{v^2}{c^2}}}$ | Формула эффекта Доплера | $\lambda_0$ – длина волны в системе отсчета, связанной с источником света;<br>$\lambda$ – длина волны в системе отсчета, связанной с приемником;<br>$v$ – скорость источника относительно приемника;<br>$\theta$ – угол между вектором скорости $\vec{v}$ и волновым вектором $\vec{k}$ излучения, принимаемого наблюдателем. При $\theta = 0$ (источник и приемник приближаются друг к другу вдоль прямой) и $\theta = \pi$ (источник и приемник отдаляются друг от друга вдоль прямой) наблюдается <i>продольный</i> эффект Доплера, при $\theta = \pi/2$ – <i>поперечный</i> эффект Доплера;<br>$c$ – скорость света в вакууме* |

\* Значения физических постоянных указаны в приложении.

### Примеры решения задач

**Пример 1.** Во сколько раз уменьшится интенсивность естественного света, если он проходит через два поляризатора? Главные плоскости двух поляризаторов образуют угол  $\varphi = 30^\circ$ . При прохождении света через каждый поляризатор дополнительные потери на отражение и поглощение составляют  $k = 10\%$ .

Дано:  $\varphi = 30^\circ$ ,  $k = 0,1$ .

Найти  $I_0/I$ .

**Решение.** Поляризатор состоит из вещества, которое прозрачно только для света определенной поляризации. Это вещество называется дихроичным (например, турмалин, герпатит и др.). В дихроичном веществе при взаимодействии электромагнитной волны с его молекулами колебания одного направления поглощаются очень сильно, а колебания перпендикулярного направления – слабо. Поляризатор свободно пропускает только колебания, параллельные его главной плоскости.

Таким образом, если не учитывать дополнительные потери на отражение и поглощение, интенсивность естественного света после прохождения первого по-

ляризатора уменьшится вдвое. С учетом дополнительных потерь интенсивность плоскополяризованного света после прохождения первого поляризатора будет

$$I_1 = \frac{1}{2} I_0 (1 - k),$$

где  $I_0$  – интенсивность естественного света, падающего на первый поляризатор.

Для нахождения интенсивности света, прошедшего через второй поляризатор, необходимо применить закон Малюса с учетом дополнительных потерь во втором поляризаторе:

$$I_2 = I_1 (1 - k) \cos^2 \varphi = \frac{1}{2} I_0 (1 - k)^2 \cos^2 \varphi.$$

Следовательно, после прохождения обоих поляризаторов ослабление интенсивности будет

$$\frac{I_0}{I_2} = \frac{2}{(1 - k)^2 \cos^2 \varphi} = \frac{2}{0,9^2 \cdot \cos^2 30^\circ} = 3,3.$$

Ответ:  $\frac{I_0}{I} = 3,3$ .

**Пример 2.** Радиолокатор работает на длине волны  $\lambda_0 = 50$  см. Определить скорость самолета, приближающегося к локатору, если частота биения между сигналом излучателя и сигналом, отраженным от самолета, в месте расположения локатора  $\Delta \nu = 1$  кГц.

Дано:  $\lambda_0 = 0,5$  м,  $\Delta \nu = 10^3$  Гц.

Найти  $v$ .

**Решение.** При измерении скорости самолета с помощью радиолокатора необходимо учитывать, что смена частоты посылаемого сигнала вследствие продольного эффекта Доплера происходит дважды: при отражении электромагнитной волны от поверхности самолета и при регистрации этого отраженного сигнала непосредственно радиолокатором.

Используем формулу эффекта Доплера для длины волны

$$\lambda = \lambda_0 \frac{1 - \frac{v}{c} \cos \theta}{\sqrt{1 - \frac{v^2}{c^2}}}.$$

В данном случае угол между вектором скорости  $\vec{v}$  самолета и волновым вектором  $\vec{k}$  излучения, принимаемого локатором,  $\theta = 0$ , а  $v \ll c$ . Пренебрегая

величинами второго порядка малости  $\left( \frac{v^2}{c^2} \ll \frac{v}{c} \right)$ , получаем

$$\lambda \approx \lambda_0 \left( 1 - \frac{v}{c} \cos \theta \right) = \lambda_0 \left( 1 - \frac{v}{c} \right).$$

Поскольку  $\lambda = \frac{c}{\nu}$ , то формула эффекта Доплера для частоты примет вид

$$\nu = \nu_0 \frac{1}{1 - \frac{v}{c}} = \frac{c}{\lambda_0 \left( 1 - \frac{v}{c} \right)}.$$

Используем формулу приближенного вычисления (разложение в ряд Маклорена)

$$\nu = \frac{c}{\lambda_0 \left( 1 - \frac{v}{c} \right)} \approx \frac{c}{\lambda_0} \left( 1 + \frac{v}{c} \right).$$

Применительно к данной задаче частота отраженного сигнала

$$\nu_1 = \frac{c}{\lambda_0} \left( 1 + \frac{v}{c} \right),$$

а частота сигнала, принимаемого радиолокатором,

$$\nu = \nu_1 \left( 1 + \frac{v}{c} \right) = \frac{c}{\lambda_0} \left( 1 + \frac{v}{c} \right)^2 \approx \frac{c}{\lambda_0} \left( 1 + \frac{2v}{c} \right).$$

Частота биения

$$\Delta \nu = \nu - \nu_0 = \frac{c}{\lambda_0} \left( 1 + \frac{2v}{c} \right) - \frac{c}{\lambda_0} = \frac{2v}{\lambda_0},$$

откуда находим искомую скорость самолета:

$$v = \frac{\lambda_0 \Delta \nu}{2} = \frac{0,5 \cdot 10^3}{2} = 250 \text{ м/с} = 900 \text{ км/ч}.$$

Ответ:  $v = 250 \text{ м/с} = 900 \text{ км/ч}$ .

### Вариант 3.1

**3.1.1.** Найти показатель преломления  $n$  стекла, если отраженный луч будет полностью поляризован при угле преломления  $\beta = 30^\circ$ .

**3.1.2.** Определить угол  $\varphi$  между главными плоскостями поляризатора и анализатора, если интенсивность естественного света, проходящего через поляризатор и анализатор, уменьшается в  $k = 4$  раза.

**3.1.3.** При падении естественного света на некоторый поляризатор сквозь него

проходит  $k_1 = 30\%$  светового потока, а через два таких поляризатора –  $k_2 = 13,5\%$ . Найти угол  $\varphi$  между главными плоскостями этих поляризаторов.

**3.1.4.** Известный американский физик Вуд очень любил шутки и розыгрыши. С его именем связано много легенд. Например, однажды, когда Вуд ехал на автомобиле, он проехал на красный свет. Полицейскому, который остановил автомобиль, Вуд объяснил свой поступок тем, что из-за эффекта Доплера красный свет ему показался зеленым. Полицейский тоже любил шутки. Поэтому он согласился принять версию Вуда, но все равно оштрафовал его за превышение скорости. Необходимо вычислить скорость  $v$  автомобиля, при которой красный свет с длиной волны  $\lambda_1 = 700$  нм воспринимался бы водителем как зеленый свет с длиной волны  $\lambda_2 = 500$  нм.

**3.1.5.** При наблюдении желтой спектральной линии  $\lambda_0 = 589$  нм в излучениях с противоположных краев экватора солнечного диска обнаружили разность длин волн  $\Delta\lambda = 8$  пм. Найти период  $T$  вращения Солнца вокруг своей оси. Радиус Солнца  $R_\odot = 6,96 \cdot 10^8$  м.

**3.1.6.** Какую наименьшую скорость  $v_{min}$  должен иметь электрон, чтобы в среде с абсолютным показателем преломления  $n = 1,5$  возникло излучение Вавилова – Черенкова?

## Вариант 3.2

**3.2.1.** Предельный угол полного внутреннего отражения для некоторого вещества  $\alpha_{np} = 45^\circ$ . Найти для этого вещества угол Брюстера  $\alpha_B$ .

**3.2.2.** Плоскополяризованный свет интенсивностью  $I_0$  проходит последовательно через два идеальных поляризатора, главные плоскости которых образуют с плоскостью поляризации входящего луча углы  $\varphi_1$  и  $\varphi_2$  (углы отсчитываются от плоскости поляризации по часовой стрелке, если смотреть вдоль луча). Определить интенсивность света  $I$  после прохождения второго поляризатора.

**3.2.3.** Два поляризатора размещены так, что угол между их главными плоскостями  $\varphi = 60^\circ$ . При прохождении света через каждый поляризатор дополнительные потери на отражение и поглощение составляют  $k = 5\%$ . Во сколько раз уменьшится интенсивность света при прохождении: а) через первый поляризатор; б) через оба поляризатора?

**3.2.4.** При прохождении светом пути  $l$  в некотором веществе интенсивность света  $I_0$  уменьшается в два раза. Во сколько раз уменьшится интенсивность  $I_0$  при

прохождении пути  $3l$ ?

**3.2.5.** С какой скоростью удаляется от нас некоторая туманность, если линия водорода  $\lambda_0 = 434 \text{ нм}$  (для неподвижного источника) в ее спектре смещена к красному краю на  $\Delta\lambda = 130 \text{ нм}$ ?

**3.2.6.** Найти наименьшее значение кинетической энергии движущейся заряженной частицы, при которой возникает излучение Вавилова – Черенкова в среде с абсолютным показателем преломления  $n = 1,6$ , если такая частица есть: а) электрон; б) протон.

### Вариант 3.3

**3.3.1.** Луч света проходит через жидкость, налитую в стеклянный сосуд ( $n_1 = 1,5$ ), и отражается от дна. Отраженный луч полностью поляризован при отражении от дна под углом  $\alpha_B = 42^\circ$ . Найти показатель преломления  $n_2$  жидкости.

**3.3.2.** Во сколько раз уменьшится интенсивность неполяризованного света, если он проходит через три поляризатора? Главные плоскости первого и второго поляризаторов образуют угол  $\varphi = 60^\circ$ , а ориентация главной плоскости третьего поляризатора совпадает с ориентацией главной плоскости первого поляризатора. Коэффициент пропускания поляризатора  $k = 90\%$ .

**3.3.3.** Пучок естественного света падает на систему из  $N = 6$  поляризаторов, главная плоскость каждого из которых повернута на угол  $\varphi = 30^\circ$  относительно предыдущего поляризатора. Какая часть светового потока проходит сквозь систему?

**3.3.4.** Монохроматический свет падает на прозрачную пластину толщиной  $d = 10 \text{ см}$ . Коэффициент поглощения пластины изменяется линейно от  $\alpha_1 = 0,8 \text{ м}^{-1}$  возле одной ее поверхности до  $\alpha_2 = 1,2 \text{ м}^{-1}$  возле другой. На сколько процентов уменьшится интенсивность света при его прохождении сквозь пластину.

**3.3.5.** Одна из спектральных линий атомарного водорода имеет длину волны  $\lambda_0 = 656,3 \text{ нм}$ . Найти доплеровское смещение  $\Delta\lambda$  этой линии, если ее наблюдают под прямым углом к пучку атомов водорода (поперечный эффект Доплера) с кинетической энергией  $E_{кин} = 1 \text{ МэВ}$ .

**3.3.6.** Определить кинетическую энергию  $E_{кин}$  электронов, которые в среде с абсолютным показателем преломления  $n = 1,5$  излучают свет под углом  $\theta = 30^\circ$  к направлению своего движения.

### Вариант 3.4

**3.4.1.** Каким должен быть преломляющий угол  $\gamma$  стеклянной призмы, чтобы углы входа луча в призму и выхода из нее были углами Брюстера? Показатель преломления стекла принять  $n = 1,52$ .

**3.4.2.** Естественный свет падает на систему из двух несовершенных поляризаторов. При параллельных главных плоскостях поляризаторов эта система пропускает в  $N = 16$  раз больше света, чем при скрещенных поляризаторах. Определить степень поляризации  $P$  света, который прошел отдельно через каждый поляризатор.

**3.4.3.** Плоскополяризованный свет падает на поляризатор, вращающийся вокруг оси светового пучка с угловой скоростью  $\omega = 21$  рад/с. Найти энергию света, проходящего через поляризатор за один оборот, если поток энергии в пучке, падающем на поляризатор,  $\Phi_0 = 4$  мВт.

**3.4.4.** Заполненный нитробензолом сосуд, в котором размещены пластины плоского конденсатора (ячейка Керра), на который подается электрическое напряжение, приобретает свойства кристалла с двойным лучепреломлением и оптической осью, параллельной вектору напряженности электрического поля  $\vec{E}$  в конденсаторе. При прохождении света через ячейку между составляющей напряженности электрического поля света, параллельной  $\vec{E}$ , и составляющей, перпендикулярной  $\vec{E}$ , возникает разность фаз  $\Delta\Phi = 2\pi V l E^2$ , где  $l$  – длина конденсатора по ходу луча ( $l = 0,1$  м),  $V$  – постоянная Керра. При комнатной температуре для  $\lambda = 600$  нм  $V = 2,2 \cdot 10^{-12}$  м/В<sup>2</sup>. Ячейка Керра помещается между скрещенными поляризаторами так, что направление электрического поля образует с плоскостями поляризаторов угол  $\varphi = 45^\circ$ . Определить минимальное значение  $E_{min}$  напряженности поля, при котором система пропускает максимальную долю падающего на систему света.

**3.4.5.** Определить количество прерываний  $N$  света за одну секунду в условиях предыдущей задачи, если на конденсатор подать синусоидальное напряжение с частотой  $\nu = 50$  Гц и амплитудным значением напряженности  $E_m = 2,5 \cdot 10^6$  В/м.

**3.4.6.** Одна из спектральных линий, излучаемых возбужденными атомами гелия, имеет длину волны  $\lambda = 410$  нм. Найти доплеровское смещение этой линии, если ее наблюдают под углом  $\theta = 30^\circ$  к пучку ионов, двигающихся с кинетической энергией  $E_{кин} = 10$  МэВ. Масса покоя иона гелия  $m_0 = 6,7 \cdot 10^{-27}$  кг.

## З а н я т и е 4

### ТЕПЛОВОЕ ИЗЛУЧЕНИЕ

При решении задач по данной теме целесообразно пользоваться формулами, приведенными в табл. 4.

Т а б л и ц а 4

| №<br>п/п | Формула   | Название формулы  | Пояснение к формуле  |
|----------|---|---|--|
| 1        | $R = \frac{W}{St}$  | Энергетическая светимость (интегральная испускательная способность) тела                                | $W$ – энергия электромагнитных волн всего спектрального диапазона, которые излучаются за время $t$ с площади $S$ тела во всех направлениях;<br>$[R] = \text{Вт}/\text{м}^2$  |
| 2        | $R = \int_0^{\infty} r(\lambda, T) d\lambda = \int_0^{\infty} r(\nu, T) d\nu$ | Связь между интегральной и спектральными испускательными способностями тела                             | $r(\lambda, T)$ и $r(\nu, T)$ – спектральные испускательные способности тела (спектральные плотности энергетической светимости);<br>$[r(\lambda, T)] = \text{Вт}/\text{м}^3$ ,<br>$[r(\nu, T)] = \text{Дж}/\text{м}^2$ |
| 3        | $\frac{r(\lambda, T)}{a(\lambda, T)} = r^*(\lambda, T)$                       | Закон излучения Кирхгофа  | $a(\lambda, T)$ – спектральная поглощательная способность тела;<br>$r^*(\lambda, T)$ – спектральная испускательная способность абсолютно черного тела  |
| 4        | $a(\lambda, T) = \begin{cases} 0, \\ \text{const} < 1, \\ 1 \end{cases}$      | Условие для абсолютно зеркального тела<br>Условие для серого тела<br>Условие для абсолютно черного тела |  |
| 5        | $\alpha(T) = \frac{R}{R^*}$   | Интегральная степень черноты тела   | $R^*$ – энергетическая светимость абсолютно черного тела при температуре $T$   |
| 6        | $R^* = \sigma T^4$  | Закон Стефана – Больцмана   | $\sigma$ – постоянная Стефана – Больцмана*   |

| №<br>п/п | Формула   | Название формулы   | Пояснение к формуле   |
|----------|---|--|---|
| 7        | $\lambda_{max} = \frac{b}{T}$   | Закон смещения Вина  | $\lambda_{max}$ – длина волны, соответствующая максимуму спектральной излучательной способности абсолютно черного тела;<br>$b$ – постоянная закона смещения Вина* |
| 8        | $r_{max}^*(\lambda, T) = CT^5$  | Зависимость максимальной спектральной излучательной способности от температуры | $r_{max}^*(\lambda, T)$ – максимальная спектральная излучательная способность;<br>$C = 1,2867 \cdot 10^{-5} \frac{\text{Вт}}{\text{м}^3 \cdot \text{К}^5}$        |
| 9        | $r^*(\lambda, T) = \frac{2\pi hc^2}{\lambda^5} \frac{1}{\frac{hc}{e^{\lambda kT}} - 1}$ | Формула Планка   | $c$ – скорость света в вакууме*;<br>$h$ – постоянная Планка*;<br>$k$ – постоянная Больцмана*  |

\* Значения физических постоянных указаны в приложении.

### Пример решения задачи

Исследование спектра излучения Солнца свидетельствует о том, что максимум излучательной способности соответствует длине волны  $\lambda_{max} = 0,5 \text{ мкм}$ . Считая, что Солнце – абсолютно черное тело, определить: а) энергетическую светимость Солнца  $R^*$ ; б) поток энергии  $\Phi$ , который излучает Солнце; в) массу  $m$  электромагнитных волн (всех длин), которые излучает Солнце за одну секунду. Радиус Солнца  $R_{\odot} = 6,96 \cdot 10^8 \text{ м}$ .

Дано:  $\lambda_{max} = 5 \cdot 10^{-7} \text{ м}$ ,  $t = 1 \text{ с}$ ,  $R_{\odot} = 6,96 \cdot 10^8 \text{ м}$ .

Найти  $R^*$ ,  $\Phi$ ,  $m$ .

**Решение. 1.** Энергетическая светимость  $R^*$  абсолютно черного тела выражается законом Стефана – Больцмана

$$R^* = \sigma T^4, \quad (4.1)$$

где  $\sigma$  – постоянная Стефана – Больцмана,  $T$  – абсолютная температура излучающей поверхности.

Температуру  $T$  можно определить из закона смещения Вина (см. формулу

7 табл. 4)

$$T = \frac{b}{\lambda_{max}}, \quad (4.2)$$

где  $b$  – постоянная закона смещения Вина.

Подставляя (4.2) в (4.1), получаем

$$R^* = \sigma \left( \frac{b}{\lambda_{max}} \right)^4. \quad (4.3)$$

После подстановки в (4.3) числовых значений имеем

$$R^* = 5,67 \cdot 10^{-8} \left( \frac{2,898 \cdot 10^{-3}}{5 \cdot 10^{-7}} \right)^4 \frac{\text{Вт}}{\text{м}^2} = 6,4 \cdot 10^7 \frac{\text{Вт}}{\text{м}^2}.$$

2. Поток энергии  $\Phi$ , который излучает Солнце, равен произведению энергетической светимости Солнца  $R^*$  на площадь  $S$  его поверхности:

$$\Phi = R^* S.$$

Учитывая, что площадь поверхности Солнца  $S = 4\pi R_{\odot}^2$ , получаем

$$\Phi = 4\pi R_{\odot}^2 R^* = 3,9 \cdot 10^{26} \text{ Вт}.$$

3. Массу  $m$  электромагнитных волн (всех длин), которые излучает Солнце за  $t = 1 \text{ с}$ , определим на основе закона пропорциональности массы и энергии

$$E = mc^2.$$

Энергия электромагнитных волн, которая излучается за время  $t$ , равна произведению потока энергии (мощности излучения)  $\Phi$  на время  $t$ :

$$E = \Phi t.$$

Таким образом,

$$\Phi t = mc^2,$$

откуда

$$m = \frac{\Phi t}{c^2}.$$

Подставляя числовые значения в последнее выражение, получаем

$$m = \frac{3,9 \cdot 10^{26}}{(3 \cdot 10^8)^2} \text{ кг} = 4,3 \cdot 10^9 \text{ кг}.$$

Ответ: а)  $R^* = 6,4 \cdot 10^7 \text{ Вт/м}^2$ ; б)  $\Phi = 3,9 \cdot 10^{26} \text{ Вт}$ ; в)  $m = 4,3 \cdot 10^9 \text{ кг}$ .

## Вариант 4.1

4.1.1. Температура абсолютно черного тела  $T_1 = 500 \text{ К}$ . Какой будет температура  $T_2$  тела, если вследствие его нагревания поток излучения увеличился в  $N = 16$  раз?

4.1.2. Температура абсолютно черного тела  $T = 2000 \text{ К}$ . Определить длину волны  $\lambda_{max}$ , которая соответствует максимуму спектральной испускательной способности, и спектральную испускательную способность  $r^*(\lambda, T)$ , которая соответствует этой длине волны.

4.1.3. Определить температуру  $T$  и энергетическую светимость  $R^*$  абсолютно черного тела, если максимуму спектральной испускательной способности соответствует длина волны  $\lambda_{max} = 0,6 \text{ мкм}$ .

4.1.4. Из смотрового окна печи за время  $t = 1 \text{ мин}$  излучается энергия  $W = 6 \text{ кДж}$ . Считая, что излучение из смотрового окна по спектральному составу близко к излучению абсолютно черного тела, определить температуру внутренних стенок печи, если площадь смотрового окна  $S = 10 \text{ см}^2$ .

4.1.5. В каких диапазонах спектра находятся длины волн, соответствующие максимуму спектральной испускательной способности, если источником излучения является:

а) спираль электрической лампочки ( $T = 2898 \text{ К}$ );

б) поверхность Солнца ( $T = 5796 \text{ К}$ );

в) атомная бомба, температура взрыва которой  $T = 10^7 \text{ К}$ ?

Во всех случаях считать, что излучение по спектральному составу близко к излучению абсолютно черного тела.

4.1.6. Как и во сколько раз изменится поток излучения абсолютно черного тела, если максимум спектральной испускательной способности переместится из красной границы видимого спектра ( $\lambda_1 = 0,78 \text{ мкм}$ ) в фиолетовую ( $\lambda_2 = 0,39 \text{ мкм}$ )?

## Вариант 4.2

4.2.1. Муфельная печь, которая потребляет мощность  $P = 1 \text{ кВт}$ , имеет отверстие площадью  $S = 100 \text{ см}^2$ . Какая часть потребляемой мощности  $\eta$  будет рассеиваться стенками печи, если отверстие оставить открытым? Установившаяся температура внутри муфеля при открытом отверстии  $T = 1000 \text{ К}$ . Считать, что отверстие излучает как абсолютно черное тело.

4.2.2. Спектральная испускательная способность некоторого тела описывается законом  $r(\nu, T) = r_0 \exp(-\alpha\nu)$ , где  $r_0$  и  $\alpha$  – постоянные. Определить энергетическую светимость  $R$  тела.

4.2.3. Получить спектральную поглощательную способность  $a(\lambda, T)$  тела для длины волны  $\lambda$  видимого спектра, если известны яркостная  $T_{\text{ярк}}$  и истинная  $T$  температуры тела.

4.2.4. Температура вольфрамовой спирали в 25-ваттной электрической лампочке  $T = 2450 \text{ К}$ . Интегральная степень черноты спирали  $\alpha(T) = 0,3$  при данной температуре. Определить площадь  $S$  поверхности спирали, которая излучает.

4.2.5. Имеются два абсолютно черных источника теплового излучения. Температура одного из них  $T_1 = 2898 \text{ К}$ . Найти температуру  $T_2$  второго источника, если длина волны, соответствующая максимуму его спектральной испускательной способности, на  $\Delta\lambda = 1 \text{ мкм}$  больше длины волны, соответствующей максимуму спектральной испускательной способности первого источника.

4.2.6. Имеются две полости (рис. 4) с малыми отверстиями одинаковых диаметров  $d = 1 \text{ см}$  и абсолютно отражающими наружными поверхностями. Расстояние между отверстиями  $l = 12,5 \text{ см}$ . В полости 1 поддерживается постоянная температура  $T_1 = 1700 \text{ К}$ . Вычислить установившуюся температуру в полости 2. Считать, что отверстия являются косинусными излучателями.

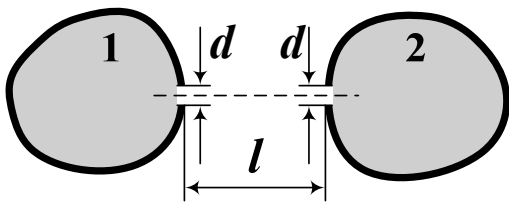


Рис. 4

### Вариант 4.3

4.3.1. При работе радиолампы возникает разогрев анода вследствие бомбардировки его электронами. Рассеяние энергии происходит в основном в виде излучения. Рассеяние вследствие теплопроводности незначительное. Определить допустимый анодный ток  $I$  в лампе, если анодное напряжение  $U = 400 \text{ В}$ . Анод, изготовленный из никеля, имеет форму цилиндра длиной  $L = 4 \text{ см}$  и диаметром  $d = 4 \text{ см}$ . Считая, что энергия рассеивается только с внешней поверхности цилиндра и анод разогрев до температуры  $T = 1000 \text{ К}$ . При этой температуре интегральная степень черноты никеля  $\alpha(T) = 0,2$ .

4.3.2. При переходе абсолютно черного тела от температуры  $T_1$  до температуры

$T_2$  площадь под кривой  $r(\lambda, T)$  увеличилась в  $n$  раз. Как изменилась при этом длина волны  $\lambda_{max}$ , соответствующая максимуму спектральной испускательной способности?

**4.3.3.** На корпусе космической лаборатории, летающей вокруг Солнца по круговой орбите, радиус  $L$  которой равен среднему расстоянию от Земли до Солнца, установлено устройство, моделирующее абсолютно черное тело. Внешняя поверхность оболочки этого устройства идеально отражающая. Отверстие в оболочке все время повернуто к Солнцу. Пренебрегая теплообменом через крепление устройства к корпусу лаборатории, определить равновесную температуру  $T$ , которая установится внутри устройства. Считать, что температура поверхности Солнца  $T_{\odot} = 5800 \text{ К}$ . Радиус Солнца  $R_{\odot} = 6,96 \cdot 10^8 \text{ м}$ , расстояние от Солнца до Земли  $L = 1,5 \cdot 10^{11} \text{ м}$ .

**4.3.4.** Вследствие изменения температуры абсолютно черного тела длина волны  $\lambda = 2,4 \text{ мкм}$ , соответствующая максимуму спектральной испускательной способности, уменьшилась на  $\Delta\lambda = 1,2 \text{ мкм}$ . Как и во сколько раз изменились энергетическая светимость тела и максимальная спектральная испускательная способность?

**4.3.5.** Определить для абсолютно черного тела плотность потока энергии, которая излучается в узком интервале длин волн  $\Delta\lambda = 10^{-9} \text{ м}$  вблизи максимума спектральной испускательной способности при температуре  $T = 3000 \text{ К}$ .

**4.3.6.** Известно, что температура спирали электрической лампочки колеблется при питании ее переменным током. Разница  $\Delta T$  между наибольшей и наименьшей температурами накаливания вольфрамовой спирали электрической лампы (**60 Вт, 220 В**) при переменном токе (**50 Гц**) составляет **80 К**. Во сколько раз  $\eta$  изменяется общая мощность излучения вследствие колебаний температуры, если ее среднее значение  $T = 2300 \text{ К}$ ? Считать, что вольфрам излучает как серое тело.

#### Вариант 4.4

**4.4.1.** Медный шарик диаметром  $d = 1,23 \text{ см}$  поместили в сосуд, откачанный до высокого вакуума. Температура стенок сосуда поддерживается близкой к абсолютному нулю. Начальная температура шарика  $T_0 = 300 \text{ К}$ . Считая поверхность шарика абсолютно черной, найти время, за которое его температура уменьшится в  $\eta = 2$  раза. Удельная теплоемкость меди  $c = 386 \text{ Дж}/(\text{кг} \cdot \text{К})$ , плотность меди  $\rho = 8,93 \cdot 10^3 \text{ кг/м}^3$ .

4.4.2. Температура поверхности Солнца  $T = 5796 \text{ К}$ . Считая, что поглощающая способность Солнца и Земли равна единице и что Земля находится в состоянии теплового равновесия, найти среднюю температуру поверхности Земли. Радиус Солнца  $R_{\odot} = 6,96 \cdot 10^8 \text{ м}$ , расстояние от Земли до Солнца  $L = 1,5 \cdot 10^{11} \text{ м}$ .

4.4.3. Вольфрамовая нить диаметром  $d_1 = 100 \text{ мкм}$  соединена последовательно со второй вольфрамовой нитью. Нити накаляются в вакууме, при этом первая нить имеет температуру  $T_1 = 2000 \text{ К}$ , а вторая –  $T_2 = 3000 \text{ К}$ . Какой диаметр  $d_2$  второй нити? Температурный коэффициент сопротивления вольфрама считать  $\alpha = 6,24 \cdot 10^{-4} \text{ К}^{-1}$ .

4.4.4. На сколько процентов увеличится энергетическая светимость абсолютно черного тела, если его температура увеличится на 1%?

4.4.5. На экране получен спектр от положительного кратера вольфрамовой дуги, температура которого  $T = 4000 \text{ К}$ . Определить отношение  $x$  между плотностями потока излучения, падающего на участки экрана, которые соответствуют длинам волн от **695** до **705 нм** (участок красного цвета) и от **395** до **405 нм** (участок фиолетового цвета). Считать, что кратер излучает как серое тело. Поглощение в стекле и воздухе одинаково для красных и фиолетовых лучей.

4.4.6. Температура  $T$  шара радиусом  $R$ , поверхность которого можно считать абсолютно черной, поддерживается постоянной. Определить среднюю объемную плотность энергии  $\langle w \rangle$  электромагнитного излучения на расстоянии  $r \gg R$  от центра шара.

## З а н я т и е 5

### КВАНТОВЫЕ СВОЙСТВА СВЕТА

При решении задач по данной теме целесообразно пользоваться формулами, приведенными в табл. 5.

Т а б л и ц а 5

| № п/п | Формула  | Название формулы               | Пояснение к формуле  |
|-------|--|--------------------------------|--|
| 1     | $\varepsilon_f = h\nu = \frac{hc}{\lambda};$ $m_f = \frac{h\nu}{c^2} = \frac{h}{c\lambda};$ $p_f = \frac{h\nu}{c} = \frac{h}{\lambda}$ | Энергия, масса, импульс фотона | $\nu$ – частота света;<br>$\lambda$ – длина волны света;<br>$c$ – скорость света в вакууме*;<br>$h$ – постоянная Планка* |

| № п/п | Формула  | Название формулы   | Пояснение к формуле   |
|-------|--|--|---|
| 2     | $\varepsilon_f = A + W_{max}$  | Уравнение Эйнштейна для внешнего фотоэффекта   | $A$ – работа выхода электрона;<br>$W_{max}$ – максимальная кинетическая энергия вылетевшего электрона   |
| 3     | $W_{max} = \frac{m_e v_{max}^2}{2}$  | Максимальная кинетическая энергия электрона при внешнем фотоэффекте в случае $\lambda > 2,43 \text{ \AA}$ ( $\varepsilon_f < 5,1 \text{ кэВ}$ )<br>( $\Delta W_{max} / W_{max}^{истин} < 1\%$ )                  | $m_e$ – масса покоя электрона*;<br>$v_{max}$ – максимальная скорость электрона  |
| 4     | $W_{max} = m_e c^2 \left( \frac{1}{\sqrt{1 - \frac{v_{max}^2}{c^2}}} - 1 \right)$                      | Максимальная кинетическая энергия электрона при внешнем фотоэффекте в случае $\lambda \leq 2,43 \text{ \AA}$ ( $\varepsilon_f \geq 5,1 \text{ кэВ}$ )<br>$\varepsilon_f \gg A$ , $\varepsilon_f \approx W_{max}$ |   |
| 5     | $U_3 = \frac{W_{max}}{e}$  | Задерживающая разность потенциалов при внешнем фотоэффекте   | $U_3$ – задерживающая разность потенциалов между катодом и анодом;<br>$e$ – элементарный заряд*   |
| 6     | $\lambda_{max} = \frac{hc}{A}$ ;<br>$\nu_{min} = \frac{A}{h}$  | Красная граница фотоэффекта  | $\lambda_{max}$ – максимальная длина волны ( $\nu_{min}$ – минимальная частота), при которой фотоэффект становится невозможным  |
| 7     | $\lambda' - \lambda = \Delta\lambda = \lambda_C (1 - \cos\theta) = 2\lambda_C \sin^2 \frac{\theta}{2}$ | Формула изменения длины волны при эффекте Комптона   | $\lambda'$ – длина волны рассеянного излучения;<br>$\lambda$ – длина волны падающего излучения;<br>$\Delta\lambda$ – изменение длины волны рентгеновских лучей при комптоновском рассеянии;<br>$\lambda_C$ – комптоновская длина волны электрона*;<br>$\theta$ – угол рассеяния |

| № п/п | Формула   | Название формулы  | Пояснение к формуле  |
|-------|---|---|--|
| 8     | $\lambda_{min} = \frac{hc}{eU}$                                   | Коротковолновая граница тормозного рентгеновского излучения | $U$ – напряжение на рентгеновской трубке   |
| 9     | $p = w(1 + \rho)\cos^2\alpha = \frac{I}{c}(1 + \rho)\cos^2\alpha$ | Давление света при падении на поверхность                   | $p$ – давление света на поверхность;<br>$w$ – объемная плотность энергии света;<br>$\rho$ – коэффициент отражения света поверхностью;<br>$\alpha$ – угол падения света;<br>$I$ – интенсивность падающего света |

\* Значения физических постоянных указаны в приложении.

### Примеры решения задач

**Пример 1.** Параллельный пучок лучей с длиной волны  $\lambda = 500$  нм падает нормально на вороненую поверхность ( $\rho = 0$ ) и создает давление  $p = 10^{-5}$  Па.

Определить:

- концентрацию фотонов  $n_0$  в потоке (число фотонов в единице объема);
- количество фотонов  $n$ , падающих на единицу поверхности за единицу времени.

Дано:  $\lambda = 5 \cdot 10^{-7}$  м,  $\rho = 0$ ,  $\alpha = 0$ ,  $p = 10^{-5}$  Па.

Найти  $n_0$ ,  $n$ .

**Решение. 1.** Концентрацию фотонов  $n_0$  в потоке можно определить как результат деления объемной плотности энергии  $w$  на энергию одного фотона  $\epsilon_f$ :

$$n_0 = \frac{w}{\epsilon_f}. \quad (5.1)$$

Давление  $p$  и объемная плотность энергии  $w$  связаны соотношением

$$p = w(1 + \rho)\cos^2\alpha,$$

откуда

$$w = \frac{p}{(1 + \rho)\cos^2\alpha}, \quad (5.2)$$

где  $\rho$  – коэффициент отражения света поверхностью,  $\alpha$  – угол падения света.

Подставляя (5.2) в (5.1), имеем

$$n_0 = \frac{p}{(1 + \rho) \varepsilon_f \cos^2 \alpha}. \quad (5.3)$$

Энергия фотона обратно пропорциональна длине волны света:

$$\varepsilon_f = \frac{hc}{\lambda}, \quad (5.4)$$

где  $h$  – постоянная Планка,  $c$  – скорость света в вакууме.

Подставляя выражение (5.4) в формулу (5.3), получаем выражение для концентрации фотонов

$$n_0 = \frac{p\lambda}{hc(1 + \rho) \cos^2 \alpha}. \quad (5.5)$$

После подстановки числовых значений в (5.5) находим

$$n_0 = 2,52 \cdot 10^{13} \text{ м}^{-3}.$$

2. *Количество фотонов  $n$* , которые падают в течение единицы времени на единичную поверхность, определяется как результат деления интенсивности света  $I$  (плотности потока энергии) на энергию  $\varepsilon_f$  одного фотона:

$$n = \frac{I}{\varepsilon_f}. \quad (5.6)$$

Интенсивность света равна произведению объемной плотности энергии  $w$  на скорость света в среде (в данном случае на скорость света в вакууме  $c$ ):

$$I = wc,$$

или, с учетом (5.2),

$$I = \frac{pc}{(1 + \rho) \cos^2 \alpha}. \quad (5.7)$$

Подставляя в (5.6) выражения (5.4) и (5.7), имеем

$$n = \frac{p\lambda}{h(1 + \rho) \cos^2 \alpha},$$

или, с учетом (5.5),

$$n = n_0 c. \quad (5.8)$$

После подстановки числовых значений в (5.8) получаем

$$n = 7,55 \cdot 10^{21} \text{ м}^{-2} \cdot \text{с}^{-1}.$$

Ответ:  $n_0 = 2,52 \cdot 10^{13} \text{ м}^{-3}$ ,  $n = 7,55 \cdot 10^{21} \text{ м}^{-2} \cdot \text{с}^{-1}$ .

**Пример 2.** Красная граница фотоэффекта для цезия соответствует длине волны  $\lambda_{max} = 653 \text{ нм}$ . Определить максимальную скорость  $v_{max}$  вылетевшего электрона при освещении цезия фиолетовыми лучами с длиной волны  $\lambda = 400 \text{ нм}$ .

Дано:  $\lambda_{max} = 6,53 \cdot 10^{-7} \text{ м}$ ,  $\lambda = 400 \text{ нм}$ .

Найти  $v_{max}$ .

**Решение.** Вначале определим максимальную кинетическую энергию вылетевшего электрона, используя уравнение Эйнштейна для внешнего фотоэффекта (см. формулу 2 табл. 5):

$$W_{max} = \varepsilon_f - A. \quad (5.9)$$

Энергия фотона  $\varepsilon_f$  связана с длиной волны соотношением (5.4). Работа выхода  $A$  равна энергии фотона с длиной волны, соответствующей красной границе фотоэффекта:

$$A = \frac{hc}{\lambda_{max}}. \quad (5.10)$$

Поскольку энергия фотона  $\varepsilon_f$  видимого спектра (несколько электрон-вольт) намного меньше энергии покоя электрона (**0,511 МэВ**), то максимальную кинетическую энергию электрона можно выразить формулой классической механики

$$W_{max} = \frac{m_e v_{max}^2}{2}. \quad (5.11)$$

Подставив в (5.9) выражения (5.4), (5.10) и (5.11), получим

$$\frac{m_e v_{max}^2}{2} = \frac{hc}{\lambda} - \frac{hc}{\lambda_{max}},$$

откуда

$$v_{max} = \sqrt{\frac{2hc}{m_e} \left( \frac{1}{\lambda} - \frac{1}{\lambda_{max}} \right)}. \quad (5.12)$$

После подстановки числовых значений в (5.12) имеем

$$v_{max} = 6,5 \cdot 10^5 \text{ м/с}.$$

**Ответ:**  $v_{max} = 6,5 \cdot 10^5 \text{ м/с}$ .

**Пример 3.** Фотон с энергией  $\varepsilon_f = 0,75 \text{ МэВ}$  рассеялся на свободном электроне под углом  $\theta = 60^\circ$ . Считая, что кинетической энергией и импульсом электрона до столкновения с фотоном можно пренебречь, определить: а) энергию  $\varepsilon_f'$

рассеянного фотона; б) кинетическую энергию  $W_e$  электрона отдачи; в) направление движения электрона отдачи.

Дано:  $\varepsilon_f = 0,75$  МэВ,  $\theta = 60^\circ$ .

Найти  $\varepsilon'_f$ ,  $W_e$ ,  $\varphi$ .

**Решение. 1.** Энергию рассеянного фотона определим путем преобразования формулы изменения длины волны при эффекте Комптона:

$$\lambda' - \lambda = \lambda_C (1 - \cos \theta),$$

где  $\lambda'$  – длина волны рассеянного излучения,  $\lambda$  – длина волны падающего излучения,  $\lambda_C$  – комптоновская длина волны электрона,  $\theta$  – угол рассеяния.

Если длину волны выразить через энергию фотона, а комптоновскую длину волны электрона – через массу покоя электрона, постоянную Планка и скорость света в вакууме (значения постоянных приведены в приложении), то получим

$$\frac{hc}{\varepsilon'_f} - \frac{hc}{\varepsilon_f} = \frac{h}{m_e c} (1 - \cos \theta).$$

Разделим обе части этого равенства на  $hc$ :

$$\frac{1}{\varepsilon'_f} - \frac{1}{\varepsilon_f} = \frac{1}{m_e c^2} (1 - \cos \theta) = \frac{1 - \cos \theta}{E_0}, \quad (5.13)$$

где  $E_0 = m_e c^2 = 0,511$  МэВ – энергия покоя электрона.

Из равенства (5.13) выражаем энергию  $\varepsilon'_f$  рассеянного фотона:

$$\varepsilon'_f = \frac{\varepsilon_f}{\frac{\varepsilon_f}{E_0} (1 - \cos \theta) + 1}. \quad (5.14)$$

После подстановки числовых значений в (5.14) получим

$$\varepsilon'_f = 0,43 \text{ МэВ}.$$

2. Из закона сохранения энергии для комптоновского рассеяния следует, что кинетическая энергия электрона отдачи равна разности между энергией  $\varepsilon_f$  падающего фотона и энергией  $\varepsilon'_f$  рассеянного фотона:

$$W_e = \varepsilon_f - \varepsilon'_f = 0,75 - 0,43 = 0,32 \text{ МэВ}.$$

3. Направление движения электрона отдачи найдем, используя закон сохранения импульса, согласно которому импульс падающего фотона  $\vec{p}_f$  равен векторной сумме импульсов рассеянного фотона  $\vec{p}'_f$  и электрона отдачи  $\vec{p}_e$ :

$$\vec{p}_f = \vec{p}'_f + \vec{p}_e.$$

Векторная диаграмма импульсов изображена на рис. 5. Все вектора проведены из точки  $O$ , где находился свободный электрон в момент столкновения с фотоном. Угол  $\varphi$  определяет направление движения электрона отдачи.

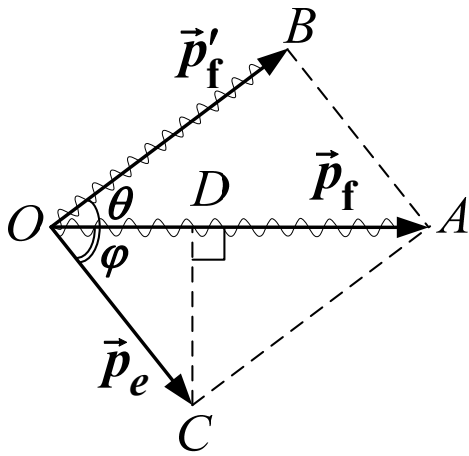


Рис. 5

Из треугольника  $OCD$  находим

$$\operatorname{tg} \varphi = \frac{CD}{OD} = \frac{CA \sin \theta}{OA - CA \cos \theta},$$

или

$$\operatorname{tg} \varphi = \frac{p'_f \sin \theta}{p_f - p'_f \cos \theta} = \frac{\sin \theta}{\frac{p_f}{p'_f} - \cos \theta}.$$

Поскольку

$$p_f = \frac{\varepsilon_f}{c} \text{ и } p'_f = \frac{\varepsilon'_f}{c},$$

то

$$\operatorname{tg} \varphi = \frac{\sin \theta}{\frac{\varepsilon_f}{\varepsilon'_f} - \cos \theta}. \quad (5.15)$$

Из формулы (5.14) следует, что

$$\frac{\varepsilon_f}{\varepsilon'_f} = \frac{\varepsilon_f}{E_0} (1 - \cos \theta) + 1. \quad (5.16)$$

Подставив в (5.15) выражение  $\varepsilon_f / \varepsilon'_f$  из формулы (5.16), находим

$$\operatorname{tg} \varphi = \frac{\sin \theta}{\left(1 + \frac{\varepsilon_f}{E_0}\right) (1 - \cos \theta)}. \quad (5.17)$$

Учитывая, что

$$\sin \theta = 2 \sin \frac{\theta}{2} \cos \frac{\theta}{2} \text{ и } 1 - \cos \theta = 2 \sin^2 \frac{\theta}{2},$$

после преобразований в (5.17) получаем

$$\operatorname{tg} \varphi = \frac{\operatorname{ctg} \frac{\theta}{2}}{1 + \frac{\varepsilon_f}{E_0}}.$$

Следовательно,

$$\varphi = \operatorname{arctg} \left( \frac{\operatorname{ctg} \frac{\theta}{2}}{1 + \frac{\varepsilon_f}{E_0}} \right). \quad (5.18)$$

После подстановки числовых значений в (5.18) имеем  $\varphi = 35^\circ$ .

Ответ:  $\varepsilon'_f = 0,43 \text{ МэВ}$ ,  $W_e = 0,32 \text{ МэВ}$ ,  $\varphi = 35^\circ$ .

### Вариант 5.1

**5.1.1.** Точечный изотропный источник излучает свет с длиной волны  $\lambda = 663 \text{ нм}$ . Определить полный поток  $N/t$  фотонов (число фотонов, излучаемых источником за единицу времени). Световая мощность источника  $P = 30 \text{ Вт}$ .

**5.1.2.** Красной границе фотоэффекта для алюминия соответствует длина волны  $\lambda = 332 \text{ нм}$ . Определить: а) работу выхода электрона  $A$  (в электронвольтах) для этого металла; б) длину световой волны  $\lambda$ , при которой задерживающая разность потенциалов  $U_3 = 1,0 \text{ В}$ .

**5.1.3.** Плоская световая волна интенсивностью  $I = 0,2 \text{ Вт/см}^2$  падает нормально на плоскую зеркальную поверхность с коэффициентом отражения  $\rho = 0,8$ . Определить давление света на эту поверхность.

**5.1.4.** Фотон с энергией  $\varepsilon_f = 1 \text{ МэВ}$  рассеялся на покоящемся свободном электроны. Определить кинетическую энергию  $W_e$  электрона отдачи (в мегаэлектронвольтах), если вследствие рассеяния длина волны фотона изменилась на  $\eta = 25 \%$ .

**5.1.5.** При комптоновском рассеянии энергия падающего фотона распределяется поровну между рассеянным фоном и электроном отдачи. Угол рассеяния  $\theta = 90^\circ$ . Определить энергию  $\varepsilon'_f$  (в мегаэлектронвольтах) и импульс  $p'_f$  рассеянного фотона.

**5.1.6.** При увеличении напряжения на рентгеновской трубке в  $\eta = 1,5$  раза длина волны коротковолновой границы сплошного рентгеновского спектра изменилась на  $\Delta\lambda = 26 \text{ пм}$ . Определить первоначальное напряжение  $U_0$  на трубке.

### Вариант 5.2

**5.2.1.** Какому диапазону длин волн  $\lambda$  электромагнитного излучения принадлежит фотон, импульс которого совпадает с наиболее вероятным импульсом молекулы водорода при комнатной температуре  $T = 300 \text{ К}$ ? Масса молекулы водорода  $M = 3,35 \cdot 10^{-27} \text{ кг}$ .

**5.2.2.** На фотоэлемент с литиевым катодом падает свет с длиной волны  $\lambda = 200 \text{ нм}$ . Определить наименьшую задерживающую разность потенциалов  $U_{3min}$ , которую нужно приложить к фотоэлементу, чтобы остановить фототок. Работа выхода электрона для лития  $A = 2,3 \text{ эВ}$ .

**5.2.3.** Лазер излучает в импульсе в течение  $\tau = 0,13$  мс пучок света с энергией  $E = 10$  Дж. Определить среднее давление такого светового импульса, если сфокусировать его в пятно диаметром  $d = 10$  мкм на поверхность, перпендикулярную к пучку, с коэффициентом отражения  $\rho = 0,5$ .

**5.2.4.** Фотон с энергией  $\varepsilon_f = 0,25$  МэВ рассеялся под углом  $\theta = 120^\circ$  на покоящемся свободном электроне. Определить энергию  $\varepsilon'_f$  (в мегаэлектронвольтах) рассеянного фотона.

**5.2.5.** Узкий пучок монохроматического рентгеновского излучения падает нормально на рассеивающее вещество. При этом длины волн смещенных составляющих излучения, рассеянного под углами  $\theta_1 = 60^\circ$  и  $\theta_2 = 120^\circ$ , отличаются друг от друга в  $\eta = 2$  раза. Считая, что рассеяние происходит на свободных электронах, определить длину волны  $\lambda$  падающего излучения.

**5.2.6.** Определить длину волны коротковолновой границы сплошного рентгеновского спектра, если скорость электронов, которые бомбардируют антикатод трубки,  $v = 0,85c$ , где  $c$  – скорость света в вакууме.

### Вариант 5.3

**5.3.1.** Точечный изотропный источник излучает свет с длиной волны  $\lambda = 589$  нм. Световая мощность источника  $P = 50$  Вт. Определить среднюю плотность потока фотонов на расстоянии  $r = 2$  м от источника.

**5.3.2.** До какого потенциала  $\varphi$  можно зарядить отдаленный от других тел цинковый шарик, если облучить его ультрафиолетовым светом с длиной волны  $\lambda = 200$  нм? Работа выхода электрона для цинка  $A = 3,74$  эВ.

**5.3.3.** Короткий импульс света с энергией  $E = 7,5$  Дж в виде узкого почти параллельного пучка нормально падает на зеркальную пластинку с коэффициентом отражения  $\rho = 0,6$ . Определить импульс  $\Delta p$ , переданный светом пластинке.

**5.3.4.** Фотон с импульсом  $p_f = 1,02$  МэВ/ $c$ , где  $c$  – скорость света в вакууме, рассеялся на покоящемся свободном электроне, вследствие чего импульс фотона стал  $p'_f = 0,225$  МэВ/ $c$ . Под каким углом  $\theta$  рассеялся фотон?

**5.3.5.** Рентгеновское излучение с длиной волны  $\lambda = 20$  пм испытывает комптоновское рассеяние под углом  $\theta = 90^\circ$ . Определить: а) изменение  $\Delta\lambda$  длины волны рентгеновского излучения; б) кинетическую энергию  $W_e$  (в килоэлектронвольтах) электрона отдачи; в) импульс  $p_e$  электрона отдачи.

**5.3.6.** Узкий пучок рентгеновских лучей падает на монокристалл  $NaCl$ . Наименьший угол скольжения, при котором наблюдается зеркальное отражение от системы кристаллических плоскостей с межплоскостным расстоянием  $d = 0,28$  нм, составляет  $\theta = 4,1^\circ$ . Какое напряжение  $U$  на рентгеновской трубке?

#### Вариант 5.4

**5.4.1.** Точечный изотропный источник излучает свет с длиной волны  $\lambda = 589$  нм. Световая мощность источника  $P = 10$  Вт. Определить расстояние от источника до точки, в которой средняя концентрация фотонов  $n = 100$  см<sup>-3</sup>.

**5.4.2.** На металл падает  $\gamma$ -излучение с длиной волны  $\lambda = 1$  нм. Пренебрегая работой выхода электрона, найти максимальную скорость  $v_{max}$  фотоэлектронов.

**5.4.3.** Фотон с энергией  $\varepsilon_f = 10$  эВ падает на серебряную пластину и вызывает фотоэффект. Определить импульс  $p$ , полученный пластиной, если предположить, что направления движения фотона и фотоэлектрона лежат на одной прямой, перпендикулярной к поверхности пластины. Работа выхода электрона для серебра  $A = 4,7$  эВ.

**5.4.4.** Небольшое идеально отражающее зеркало массой  $m = 10$  мг подвешено на невесомой нити длиной  $l = 10$  см. Определить угол  $\alpha$ , на который отклонится нить, если по нормали к зеркалу в горизонтальном направлении осветить его коротким импульсом лазерного излучения с энергией  $E = 13$  Дж. За счет чего зеркало приобретает кинетическую энергию?

**5.4.5.** Определить длину волны  $\lambda$  рентгеновского излучения, которое испытывает упругое рассеяние на свободных электронах, если максимальная кинетическая энергия электронов отдачи  $W_{e max} = 0,19$  МэВ.

**5.4.6.** Считая, что распределение энергии в спектре тормозного рентгеновского

излучения  $I(\lambda) = A \left( \frac{\lambda}{\lambda_{min}} - 1 \right) / \lambda^3$ , где  $\lambda_{min}$  – коротковолновая граница

спектра, определить напряжение  $U$  на рентгеновской трубке, если максимуму функции  $I(\lambda)$  соответствует длина волны  $\lambda_{max} = 53$  пм.

## З а н я т и е 6

### ОСНОВЫ КВАНТОВОЙ МЕХАНИКИ

При решении задач по данной теме целесообразно пользоваться формулами, приведенными в табл. 6.

Т а б л и ц а 6

| № п/п | Формула  | Название формулы                                | Пояснение к формуле  |
|-------|--|---|--|
| 1     | $\lambda_B = \frac{h}{p}$  | Длина волны де Бройля                           | <p><math>\lambda_B</math> – длина волны де Бройля;<br/> <math>h</math> – постоянная Планка*;<br/> <math>p</math> – импульс частицы</p> <p>В нерелятивистском случае (<math>v \ll c</math>)<br/> <math display="block">p = m_0 v = \sqrt{2m_0 E_{кин}}</math></p> <p>В релятивистском случае (<math>v \approx c</math>)<br/> <math display="block">p = m_0 v / \sqrt{1 - v^2 / c^2} =</math> <math display="block">= \frac{1}{c} \sqrt{E_{кин} (E_{кин} + 2E_0)},</math> где <math>E_0 = m_0 c^2</math> – энергия покоя</p> |
| 2     | $i\hbar \frac{\partial \Psi}{\partial t} = -\frac{\hbar^2}{2m} \Delta \Psi + U(x, y, z, t) \Psi$ | Уравнение Шредингера                            | <p><math>\Psi = \Psi(x, y, z, t)</math> – волновая функция частицы массой <math>m</math> ;<br/> <math>U = U(x, y, z, t)</math> – потенциальная энергия частицы в силовом поле;</p> <p><math>\Delta = \frac{\partial^2}{\partial x^2} + \frac{\partial^2}{\partial y^2} + \frac{\partial^2}{\partial z^2}</math> – оператор Лапласа;<br/> <math>i = \sqrt{-1}</math> – мнимая единица;<br/> <math>\hbar</math> – постоянная Планка*</p>   |
| 3     | $\Delta \psi + \frac{2m}{\hbar^2} (E - U) \psi = 0$  | Уравнение Шредингера для стационарных состояний | <p><math>E</math> – полная энергия частицы массой <math>m</math> ;<br/> <math>\psi = \psi(x, y, z)</math> – волновая функция частицы;<br/> <math>U = U(x, y, z)</math> – потенциальная энергия частицы</p>   |

| № п/п | Формула   | Название формулы   | Пояснение к формуле   |
|-------|---|--|---|
| 4     | $dP =  \psi ^2 dx dy dz$  | Вероятность нахождения частицы в объеме $dV = dx dy dz$  | $ \psi $ – модуль волновой функции;<br>$ \psi ^2 = \psi \cdot \psi^*$ – плотность вероятности   |
| 5     | $\iiint_V  \Psi ^2 dx dy dz = 1$  | Условие нормировки волновой функции  |   |
| 6     | $\Delta x \Delta p_x \geq \hbar / 2;$<br>$\Delta y \Delta p_y \geq \hbar / 2;$<br>$\Delta z \Delta p_z \geq \hbar / 2;$<br>$\Delta E \Delta t \geq \hbar / 2$ | Соотношения неопределенностей Гейзенберга для координат и импульсов, а также для энергии и времени | $\Delta x$ и $\Delta p_x$ – неопределенности координаты и проекции импульса на ось $x$ (то же для осей $y$ и $z$ );<br>$\Delta E$ – неопределенность в значении энергии;<br>$\Delta t$ – длительность времени определения энергии |
| 7     | $\psi_n(x) =$<br>$= \sqrt{\frac{2}{L}} \sin\left(\frac{n\pi}{L} x\right);$<br>$E_n = \frac{\pi^2 \hbar^2}{2mL^2} n^2$   | Волновая функция и энергия частицы в бесконечно глубокой одномерной потенциальной яме              | $L$ – ширина потенциальной ямы;<br>$n = 1, 2, \dots$ – номер энергетического уровня;<br>$m$ – масса частицы   |
| 8     | $E_n = \left(n + \frac{1}{2}\right) \hbar \omega$   | Допустимые значения энергии гармонического осциллятора в квантовой механике                        | $n = 0, 1, 2, \dots;$<br>$\omega$ – циклическая частота   |
| 9     | $D \sim \exp\left\{-\frac{2}{\hbar} \times \int_a^b \sqrt{2m(U(x) - E)} dx\right\}$   | Коэффициент прохождения частицы сквозь потенциальный барьер  | $E$ – полная энергия частицы массой $m$ ;<br>$U(x)$ – потенциальная энергия частицы;<br>$a, b$ – точки пересечения графика функции $U = U(x)$ с прямой $E = const$  |

| № п/п | Формула  | Название формулы  | Пояснение к формуле   |
|-------|--|---|---|
| 10    | $D \sim \exp\left\{-\frac{2}{\hbar} \times \sqrt{2m(U_0 - E)L}\right\}$              | Коэффициент прохождения частицы сквозь потенциальный барьер прямоугольной формы   | $U_0$ – высота барьера;<br>$L$ – ширина барьера;<br>$E$ – энергия частицы   |
| 11    | $E_n = -\frac{Z^2 m_e e^4}{8h^2 \varepsilon_0^2} \frac{1}{n^2}$                      | Собственные значения энергии электрона в атоме водорода и водородоподобных ионах  | $Z$ – порядковый номер атома в таблице Менделеева;<br>$e$ – элементарный заряд;<br>$m_e$ – масса покоя электрона;<br>$n$ – номер орбиты – главное квантовое число ( $n = 1, 2, \dots$ )   |
| 12    | $L = \hbar \sqrt{l(l+1)};$<br>$p_m = \mu_B \sqrt{l(l+1)}$                            | Момент импульса $L$ и магнитный момент $p_m$ электрона, обусловленный его движением по орбите                           | $l$ – орбитальное (азимутальное) квантовое число<br>( $l = 0, 1, 2, \dots, (n-1)$ );<br>$n$ – главное квантовое число;<br>$\mu_B$ – магнетон Бора*  |
| 13    | $L_z = m\hbar;$<br>$p_{mz} = m\mu_B$   | Проекция векторов момента импульса $L_z$ и магнитного момента $p_{mz}$ электрона на направление магнитной индукции поля | $m$ – магнитное квантовое число<br>( $m = 0, \pm 1, \pm 2, \dots, \pm l$ )  |
| 14    | $\frac{1}{\lambda_{nm}} = R_\infty Z^2 \left( \frac{1}{n^2} - \frac{1}{m^2} \right)$ | Длины волн излучения (формула Бальмера) для водорода и водородоподобных ионов   | $\lambda_{nm}$ – длина волны света, излучаемого атомом при переходе электрона с $m$ -го энергетического уровня на $n$ -й;<br>$R_\infty$ – постоянная Ридберга*;<br>$Z$ – порядковый номер элемента в периодической системе элементов Менделеева |

\* Значения физических постоянных указаны в приложении.

## Примеры решения задач

**Пример 1.** Используя соотношение неопределенностей Гейзенберга, найти минимальную энергию  $E_{min}$ , которой может обладать частица массой  $m = 10^{-27}$  кг, находящаяся в бесконечно глубокой одномерной потенциальной яме шириной  $L = 10^{-15}$  м.

Дано:  $m = 10^{-27}$  кг,  $L = 10^{-15}$  м.

Найти  $E_{min}$ .

**Решение.** Энергия микрочастицы массой  $m$  в потенциальном поле

$$U(x) = \begin{cases} \infty, & \text{при } x < 0, x > L, \\ 0, & \text{при } 0 \leq x \leq L, \end{cases}$$

если она находится в потенциальной яме ( $0 \leq x \leq L$ ), равна кинетической энергии и поэтому определяется формулой

$$E = \frac{mv_x^2}{2} = \frac{p_x^2}{2m}, \quad (6.1)$$

где  $p_x = mv_x$  – импульс частицы.

Минимальное значение энергии можно найти, используя соотношение неопределенностей (формула 6 табл. 6)

$$\Delta p_x \cdot \Delta x \geq \hbar / 2. \quad (6.2)$$

Неопределенность координаты частицы равна ширине потенциальной ямы ( $\Delta x = L$ ), а неопределенность импульса можно положить равной самому импульсу ( $\Delta p = p_x$ ). Тогда из (6.2) получим

$$p_x \geq \frac{\hbar}{2L}. \quad (6.3)$$

Подставив (6.3) в (6.1), имеем

$$E_{min} \approx \frac{\hbar^2}{8mL^2}. \quad (6.4)$$

В численном виде

$$E_{min} = 1,39 \cdot 10^{-12} \text{ Дж} = 8,7 \cdot 10^6 \text{ эВ}.$$

**Ответ:**  $E_{min} = 8,7 \cdot 10^6 \text{ эВ}$ .

**Пример 2.** Частица в бесконечно глубокой одномерной потенциальной яме шириной  $L$  находится в первом возбужденном состоянии ( $n = 2$ ). Найти вероятность обнаружения частицы в средней трети ямы.

Дано:  $L$ ,  $n = 2$ .

Найти  $P$ .

**Решение.** Вероятность  $P$  обнаружить частицу в интервале  $x_1 < x < x_2$  определяется равенством

$$P = \int_{x_1}^{x_2} |\psi(x)|^2 dx, \quad (6.5)$$

где  $\psi(x)$  – волновая функция частицы (формула 7 табл. 6). При  $n = 2$  она имеет вид

$$\psi_2(x) = \sqrt{\frac{2}{L}} \sin \frac{2\pi x}{L}. \quad (6.6)$$

Подставив (6.6) в (6.5) и проинтегрировав в пределах от  $x_1 = L/3$  до  $x_2 = 2L/3$ , получим

$$P = \frac{2}{L} \int_{L/3}^{2L/3} \sin^2 \frac{2\pi x}{L} dx = \frac{1}{3} - \frac{\sqrt{3}}{4\pi} = 0,196.$$

**Ответ:**  $P = 0,196$ .

**Пример 3.** Пучок электронов, прошедших ускоряющую разность потенциалов  $U = 100 \text{ В}$ , падает на две узкие щели, расстояние между которыми  $d = 10^{-5} \text{ м}$ . На расстоянии  $L = 5 \text{ м}$  от щелей расположен экран, светящийся при попадании на него электронов (рис. 6). Найти расстояние между соседними максимумами на экране.

Дано:  $U = 100 \text{ В}$ ,  $d = 10^{-5} \text{ м}$ ,  $L = 5 \text{ м}$ .

**Найти**  $\Delta x$ .

**Решение.** Согласно гипотезе де Бройля пучок электронов обладает волновыми свойствами, поэтому щели на пути электронов можно считать точечными источниками вторичных волн. При интерференции от двух точечных источников

на экране появляются максимумы и минимумы интенсивности. Согласно формуле 6 табл. 1 расстояние между соседними максимумами

$$\Delta x = \frac{\lambda L}{d}. \quad (6.7)$$

Длину волны  $\lambda$  определим, воспользовавшись формулой 1 табл. 6:

$$\lambda = \frac{h}{mv}. \quad (6.8)$$

Скорость электрона в пучке найдем из соотношения

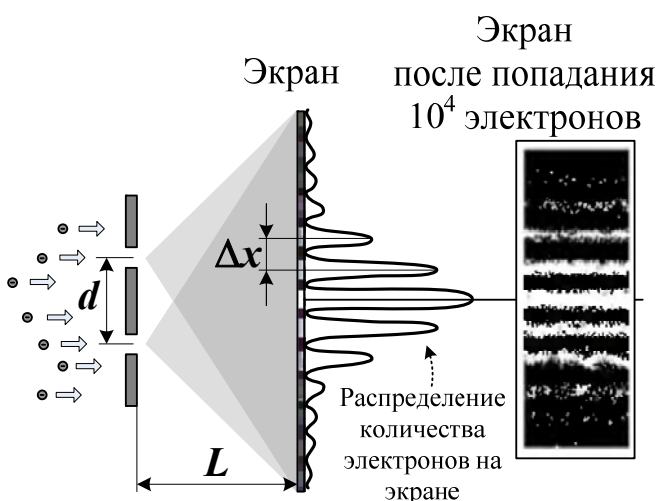


Рис. 6

$$\frac{mv^2}{2} = eU, \quad (6.9)$$

где  $e$  – элементарный заряд;  $eU$  – работа кулоновских сил, идущая на сообщение ему кинетической энергии  $\frac{mv^2}{2}$ .

Из формулы (6.9) имеем

$$v = \sqrt{\frac{2eU}{m}}. \quad (6.10)$$

Подставив выражение (6.10) в (6.8), а затем (6.8) в (6.7), получим

$$\Delta x = \frac{hL}{d\sqrt{2eUm}}. \quad (6.11)$$

В численном виде

$$\Delta x = \frac{6,63 \cdot 10^{-34} \cdot 5}{10^{-5} \sqrt{2 \cdot 1,6 \cdot 10^{-19} \cdot 9,1 \cdot 10^{-31} \cdot 10^2}} = 6,1 \cdot 10^{-5} \text{ м.}$$

Ответ:  $\Delta x = 6,1 \cdot 10^{-5} \text{ м.}$

### Вариант 6.1

**6.1.1.** Определить длины волн для волновых процессов, которые соответствуют движению:

а)  $\alpha$ -частицы ( $m_\alpha = 6,64 \cdot 10^{-27} \text{ кг}$ ) со скоростью  $v = 5 \cdot 10^6 \text{ м/с}$ ;

б) молекулы кислорода со среднеквадратической скоростью при комнатной температуре ( $T = 300 \text{ К}$ ).

**6.1.2.** Поток электронов, имеющий скорость  $v = 10^5 \text{ м/с}$ , проходит сквозь щель шириной  $b = 0,01 \text{ мм}$ . Найти ширину  $\Delta x$  центрального дифракционного максимума, наблюдаемого на экране, который находится на расстоянии  $L = 1 \text{ м}$  от щели.

**6.1.3.** Найти неопределенность  $\Delta v$  скорости протона, если неопределенность его координаты составляет  $\Delta x = 10 \text{ \AA}$ .

**6.1.4.** Электрон помещен в одномерный ящик шириной  $L = 4 \cdot 10^{-10} \text{ м}$ . Чему равняется энергия электрона на втором энергетическом уровне? Найти длину волны фотона, излучающегося при переходе из четвертого уровня на второй.

**6.1.5.** Определить вероятность прохождения электрона сквозь потенциальный барьер шириной  $L = 5 \text{ \AA}$  и высотой  $U_0 = 0,4 \text{ эВ}$ , если электрон разгоняется разностью потенциалов  $\Delta \varphi = 0,3 \text{ В}$ .

**6.1.6.** Вычислить потенциалы ионизации ионов  $He^+$  и  $Li^{++}$ .

## Вариант 6.2

6.2.1. При какой скорости частицы ее дебройлевская и комптоновская длины волн совпадают?

6.2.2. Параллельный пучок моноэнергетических электронов падает по нормали на диафрагму с узкой прямоугольной щелью шириной  $b = 1 \text{ мкм}$ . Определить скорость этих электронов, если на экране, находящемся на расстоянии  $L = 50 \text{ см}$  от щели, ширина центрального дифракционного максимума  $\Delta x = 0,36 \text{ мм}$ .

6.2.3. Скорость частицы, которая движется вдоль оси  $x$ , определяется с точностью  $\Delta v_x = 1 \text{ см/с}$ . Оценить неопределенность координаты частицы, если такая частица есть: а) электрон; б) броуновская частица массой  $m_2 = 10^{-16} \text{ кг}$ ; в) дробинка массой  $m_3 = 10^{-4} \text{ кг}$ .

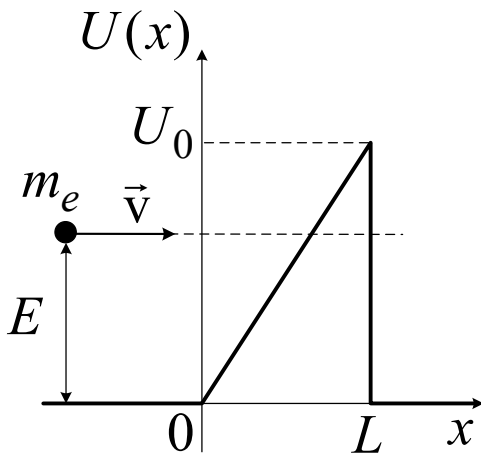


Рис. 7

6.2.4. Какую ширину  $L$  имеет одномерная потенциальная яма с бесконечно высокими стенками, если при переходе электрона со второго квантового уровня на первый излучается энергия  $\Delta E = 1 \text{ эВ}$ ?

6.2.5. Найти для электрона с энергией  $E$  коэффициент прозрачности  $D$  потенциального барьера, ширина которого  $L$  и высота  $U_0$  (рис. 7).

6.2.6. В спектре некоторого космического объекта установлен водородоподобный спектр, длины волн которого в девять раз меньше, чем атомарного водорода. Определить элемент, которому принадлежит этот спектр.

## Вариант 6.3

6.3.1. Начальная длина волны де Бройля электрона равняется  $20 \text{ пм}$ . Какую энергию нужно сообщить электрону, чтобы эта длина волны изменилась в  $N = 2$  раза?

6.3.2. Какую ускоряющую разность потенциалов  $U$  должен пройти пучок электронов, чтобы при отражении от монокристалла никеля с постоянной решетки  $d = 0,352 \text{ нм}$  при угле скольжения  $\theta = 5^\circ$  наблюдался максимум интенсивности отраженного пучка первого порядка?

6.3.3. Характерным временем атомной физики есть время возбужденного состояния  $\Delta \tau = 10 \text{ нс}$ . Некоторый атом при переходе из возбужденного состояния в невозбужденное испускает фотон. Определить ширину линии излучения.

**6.3.4.** Частица в потенциальной яме шириной  $L$  находится в возбужденном состоянии ( $n = 2$ ). Определить вероятность нахождения частицы в интервале  $L/4$ , равноудаленном от стенок ямы.

**6.3.5.** Волновая функция частицы массой  $m$  для основного состояния в одномерном потенциальном поле  $U(x) = \kappa x^2/2$  имеет вид  $\psi(x) = Ae^{-\alpha x^2}$ , где  $A$  – нормировочный коэффициент,  $\alpha$  – положительная постоянная. Найти с помощью уравнения Шредингера постоянную  $\alpha$  и энергию  $E$  частицы в этом состоянии.

**6.3.6.** На какой энергетический уровень перешел электрон при возбуждении иона гелия, если при переходе в нормальное состояние были последовательно зафиксированы два фотона с длинами волн  $\lambda_1 = 108,5$  нм и  $\lambda_2 = 30,4$  нм?

### Вариант 6.4

**6.4.1.** Определить дебройлевскую длину волны релятивистских электронов, подлетающих к антикатоде рентгеновской трубки, если длина волны коротковолновой границы сплошного рентгеновского спектра  $\lambda_{min} = 10$  пм.

**6.4.2.** Найти расстояние  $\Delta x$  между соседними максимумами яркости на люминесцентном экране, которые образуются после прохождения потока электронов через диафрагму с двумя узкими щелями. Кинетическая энергия электронов  $E_k = 25$  эВ, расстояние между диафрагмой и экраном  $L = 75$  см, расстояние между центрами щелей  $d = 25$  мкм.

**6.4.3.** Электрон определен в области с линейными размерами  $L = 1$  мкм. Его кинетическая энергия  $E_k = 10$  эВ. Оценить неопределенность его кинетической энергии  $\Delta E_k$ .

**6.4.4.** Частица находится в основном состоянии в одномерной потенциальной яме с бесконечно высокими стенками. Оценить силу, с которой частица действует на стенку. Сделать расчет для электрона в яме размером  $L = 1$  Å.

**6.4.5.** Найти для частицы массой  $m$  и энергией  $E$  коэффициент прозрачности  $D$  потенциального барьера (рис. 8), где

$$U(x) = U_0 \left( 1 - \frac{x^2}{L^2} \right).$$

**6.4.6.** Какую скорость будет иметь атом водорода вследствие излучения, обусловленного переходом электрона с первого возбужденного состояния в основное?

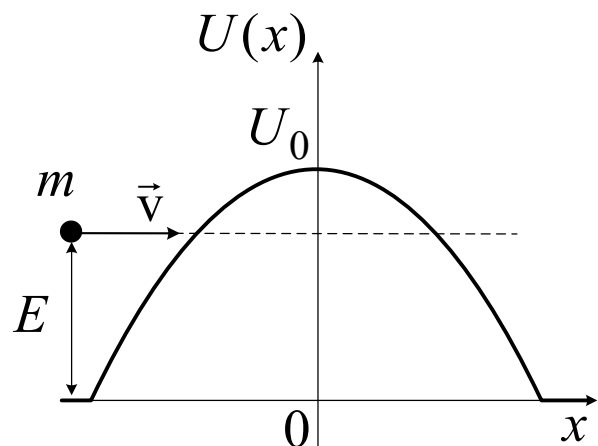


Рис. 8

## З а н я т и е 7

### ЭЛЕМЕНТЫ ЯДЕРНОЙ ФИЗИКИ

При решении задач по данной теме целесообразно пользоваться формулами, приведенными в табл. 7.

Т а б л и ц а 7

| № п/п | Формула   | Название формулы   | Пояснение к формуле  |
|-------|---|--|--|
| 1     | $N = N_0 \exp(-\lambda t);$ $N = N_0 \exp\left(-\frac{t \ln 2}{T}\right)$ | Закон радиоактивного распада ядер атомов                     | $N$ – число ядер в момент времени $t$ ;<br>$N_0$ – начальное число ядер (при $t = 0$ );<br>$\lambda$ – постоянная распада;<br>$T$ – период полураспада |
| 2     | $\Delta N = N_0 - N =$ $= N_0 (1 - e^{-\lambda t})$                       | Количество ядер, распавшихся за время $t$                    |  |
| 3     | $T = \frac{\ln 2}{\lambda}$   | Период полураспада   | $T$ – промежуток времени, в течение которого распадается половина из имеющихся радиоактивных ядер  |
| 4     | $\tau = \frac{1}{\lambda}$  | Среднее время жизни радиоактивного ядра                      | $\tau$ – промежуток времени, за который число распадающихся атомов уменьшается в $e$ раз   |
| 5     | $A = \left  \frac{dN}{dt} \right  = \lambda N$                            | Активность радиоактивного вещества                           | $A$ – число ядер радиоактивного вещества, распадающихся за единицу времени (за $t = 1$ с),<br>$[A] = \text{Бк}$ (беккерель)                            |
| 6     | $A = A_0 \exp(-\lambda t),$ $A_0 = \lambda N_0$                           | Закон изменения активности радиоактивных веществ со временем | $A_0$ – активность в начальный момент времени (при $t = 0$ )   |
| 7     | $E_{св} = \Delta m c^2$   | Энергия связи ядра атома                                     | $\Delta m$ – дефект массы;<br>$c$ – скорость света в вакууме*  |

| № п/п | Формула   | Название формулы  | Пояснение к формуле   |
|-------|---|---|---|
| 8     | $\Delta m = Zm_p + (A - Z)m_n - m_{\text{я}} \quad (\text{а})$  | Дефект массы ядра   | <p><math>Z</math> – зарядовое число атомного ядра (порядковый номер элемента в таблице Менделеева);</p> <p><math>A</math> – массовое число (число протонов и нейтронов в ядре);</p> <p><math>m_p, m_n, m_{\text{я}}, m(^1\text{H}), m_a</math> – массы протона, нейтрона, ядра, атома протия и атома соответственно*</p>      |
|       | $\Delta m = Zm(^1\text{H}) + (A - Z)m_n - m_a \quad (\text{б})$ |   |   |
| 9     | $D = \frac{dW}{dm}$   | Доза поглощенного ионизирующего излучения                         | <p>Отношение поглощенной энергии <math>dW</math> в данном объеме к массе вещества <math>dm</math> в этом объеме.</p> <p><math>[D] = \text{Гр}</math> (грей),</p> <p><math>1 \text{ Гр} = 1 \text{ Дж/кг}</math></p>   |
| 10    | $P = \frac{dD}{dt}$   | Мощность дозы поглощенного ионизирующего излучения                | <p>Доза поглощенного ионизирующего излучения <math>dD</math> в единицу времени <math>dt</math>.</p> <p><math>[P] = \text{Гр/с}</math></p>   |
| 11    | $X = \frac{dQ}{dm}$   | Экспозиционная доза рентгеновского и $\gamma$ -излучения          | <p>Отношение суммарного заряда ионов одного знака <math>dQ</math>, образующихся в некотором объеме сухого воздуха, к массе этого объема <math>dm</math>. <math>[X] = \text{Кл/кг}</math>.</p> <p>Внесистемная единица <math>\text{Р}</math> (рентген).</p> <p><math>1 \text{ Р} = 2,58 \cdot 10^{-4} \text{ Кл/кг}</math></p> |
| 12    | $\dot{X} = \frac{dX}{dt}$                                       | Мощность экспозиционной дозы рентгеновского и $\gamma$ -излучения | <p>Экспозиционная доза излучения <math>dX</math>, полученная за единицу времени <math>dt</math>.</p> <p><math>[\dot{X}] = \text{А/кг}</math>.</p> <p>Внесистемная единица <math>\text{Р/с}</math></p>   |

| № п/п | Формула                       | Название формулы   | Пояснение к формуле  |
|-------|-------------------------------|--|--|
| 13    | $X = X_0 e^{-\mu l}$          | Экспозиционная доза рентгеновского и $\gamma$ -излучения, падающего на объект, экранированный защитным слоем толщиной $l$                          | $X_0$ – экспозиционная доза в отсутствие защитного слоя; $l$ – толщина защитного слоя; $\mu$ – линейный коэффициент поглощения в материале защитного слоя                              |
| 14    | $X = \frac{\dot{X}_0 t}{r^2}$ | Экспозиционная доза $\gamma$ -излучения, падающего в течение времени $t$ на объект, находящийся в воздухе на расстоянии $r$ от точечного источника | $\dot{X}_0$ – мощность экспозиционной дозы на расстоянии $r = 1$ м от точечного источника. Поглощением $\gamma$ -излучения в воздухе пренебрегают                                      |
| 15    | $I = I_0 e^{-\mu l}$          | Ослабление интенсивности излучения   | $I$ – интенсивность $\gamma$ -излучения в веществе на глубине $l$ ;<br>$I_0$ – интенсивность $\gamma$ -излучения, падающего на поверхность вещества;<br>$\mu$ – коэффициент поглощения |

\* Значения физических постоянных указаны в приложении.

### Примеры решения задач

**Пример 1.** Определить дефект масс и энергию связи ядра бора  ${}^{11}_5\text{B}$ . Масса покоя атома бора  $m({}^{11}\text{B}) = 11,00930$  а.е.м.

Дано:  $m({}^{11}\text{B}) = 11,00930$  а.е.м.

Найти  $\Delta m$ ,  $E_{св}$ .

**Решение.** Дефект масс атомного ядра определяется по формуле 8 (б) табл. 7:

$$\Delta m = Zm({}^1\text{H}) + (A - Z)m_n - m({}^{11}\text{B}).$$

Подставляя в эту формулу числовые значения масс (приведены в приложе-

нии), имеем

$$\Delta m = 5 \cdot 1,00783 + 6 \cdot 1,00866 - 11,00930 = 0,08181 \text{ а.е.м.}$$

Энергия связи ядра вычисляется по формуле 7 табл. 7:

$$E_{св} = c^2 \Delta m. \quad (7.1)$$

Учитывая, что  $1 \text{ а.е.м.} \cdot c^2 = 931,5 \text{ МэВ}$ , подставим числовые значения в (7.1):

$$E_{св} = 931,5 \cdot 0,08181 = 76,2 \text{ МэВ.}$$

**Ответ:**  $\Delta m = 0,08181 \text{ а.е.м.}$ ,  $E_{св} = 76,2 \text{ МэВ}$ .

**Пример 2.** Масса препарата  ${}_{12}^{27}\text{Mg}$  составляет  $m = 2 \cdot 10^{-10} \text{ кг}$ . Определить начальную активность препарата и его активность через  $t = 1 \text{ ч}$ . Считать, что все атомы  ${}_{12}^{27}\text{Mg}$  радиоактивны. Период полураспада  $T = 9,46 \text{ мин}$ .

**Дано:**  $m = 2 \cdot 10^{-10} \text{ кг}$ ,  $t = 3600 \text{ с}$ ,  $T = 567,6 \text{ с}$ .

**Найти**  $A_0$ ,  $A$ .

**Решение.** Начальная активность препарата определяется по формуле

$$A_0 = \lambda N_0. \quad (7.2)$$

Постоянная распада

$$\lambda = \ln 2 / T. \quad (7.3)$$

Количество атомов препарата в начальный момент времени

$$N_0 = \frac{m N_A}{\mu_{Mg}}, \quad (7.4)$$

где  $\mu_{Mg}$  – молярная масса препарата;  $N_A$  – постоянная Авогадро.

Подставив в формулу (7.2) выражения (7.3) и (7.4), получим

$$A_0 = \frac{m N_A \ln 2}{\mu_{Mg} T} = \frac{0,2 \cdot 10^{-9} \cdot 6,02 \cdot 10^{23} \cdot 0,693}{0,027 \cdot 567,6} = 5,44 \cdot 10^{12} \text{ Бк.}$$

По формуле 6 табл. 7 найдем

$$A = A_0 e^{-\frac{\ln 2}{T} t} = 5,44 \cdot 10^{12} e^{-\frac{0,693 \cdot 3600}{567,6}} = 6,71 \cdot 10^{10} \text{ Бк.}$$

**Ответ:**  $A_0 = 5,44 \cdot 10^{12} \text{ Бк}$ ,  $A = 6,71 \cdot 10^{10} \text{ Бк}$ .

**Пример 3.** Определить толщину слоя воды, который обеспечивает ослабление параллельного пучка  $\gamma$ -излучения в два раза, если линейный коэффициент поглощения  $\mu = 0,047 \text{ см}^{-1}$ .

Дано:  $I_0/I = 2$ ,  $\mu = 0,047 \text{ см}^{-1}$ .

Найти  $l_{1/2}$ .

**Решение.** При прохождении  $\gamma$ -излучения через слой вещества происходит его поглощение за счет трех факторов: фотоэффекта, эффекта Комптона и возникновения пар (электрон-позитрон). В результате действия этих трех факторов интенсивность  $\gamma$ -излучения экспоненциально уменьшается в зависимости от толщины слоя:

$$I = I_0 e^{-\mu l}. \quad (7.2)$$

Пройдя поглощающий слой толщиной  $l_{1/2}$ , который соответствует половинному ослаблению, пучок  $\gamma$ -излучения имеет интенсивность

$$I = \frac{I_0}{2}.$$

Подставив  $I = \frac{I_0}{2}$  и  $l_{1/2}$  в формулу (7.2), получим

$$\frac{I_0}{2} = I_0 e^{-\mu l_{1/2}},$$

или, после сокращения на  $I_0$ ,

$$\frac{1}{2} = e^{-\mu l_{1/2}}.$$

Прологарифмировав последнее выражение, найдем искомое значение толщины слоя половинного ослабления:

$$l_{1/2} = \frac{\ln 2}{\mu} = \frac{0,693}{0,047} = 14,7 \text{ см}.$$

Ответ:  $l_{1/2} = 14,7 \text{ см}$ .

### Вариант 7.1

7.1.1. Найти удельную энергию связи  $\omega_{зв}$  ядра кислорода  ${}^{16}_8\text{O}$  (энергию, которая приходится на один нуклон). Масса атома кислорода  $m({}^{16}\text{O}) = 15,99491 \text{ а.е.м.}$

7.1.2. Имеем  $N = 2,5 \cdot 10^7$  атомов радия  ${}^{227}_{89}\text{Ra}$ . Сколько атомов распадется за одни сутки, если период полураспада радия  $T({}^{227}_{89}\text{Ra}) = 1620 \text{ лет}$  ?

7.1.3. Сколько слоев половинного ослабления в пластине, при прохождении которой интенсивность параллельного пучка монохроматического рентгеновского излучения уменьшается в  $k = 1000$  раз?

7.1.4. Активность препарата уменьшилась в  $k = 253$  раза. Скольким периодам полураспада равняется прошедший промежуток времени?

7.1.5. Определить количество тепла, которое выделяет  $m = 1$  мг препарата полония  ${}^{210}_{84}\text{Po}$  при  $\alpha$ -распаде в течение среднего времени жизни этих ядер, если известно, что излучаемые  $\alpha$ -частицы имеют кинетическую энергию  $\varepsilon_k = 5,3$  МэВ и практически все дочерние ядра рождаются в основном энергетическом состоянии.

7.1.6. Мощность экспозиционной дозы  $\gamma$ -излучения на расстоянии  $r_1 = 40$  см от точечного источника составляет  $\dot{X} = 1,0$  Р/мин. Сколько времени в течение рабочего дня можно находиться на расстоянии  $r_2 = 6,0$  м от источника, если предельно допустимая доза  $\gamma$ -излучения за рабочий день  $X_{дон} = 20$  мР? Поглощением  $\gamma$ -лучей в воздухе пренебречь.

## Вариант 7.2

7.2.1. Сколько тепла  $Q$  выделяется при образовании одного грамма гелия  ${}^4_2\text{He}$  из дейтерия  ${}^2_1\text{H}$ ? Какая масса  $m$  каменного угля с удельной теплопроводностью  $30$  кДж/г эквивалентна в тепловом отношении полученной величине? Масса атома гелия  $m({}^4\text{He}) = 4,0026$  а.е.м., масса атома дейтерия  $m({}^2\text{H}) = 2,0141$  а.е.м.

7.2.2. За один год начальное количество радиоактивного нуклида уменьшилось в три раза. Во сколько раз оно уменьшится за два года?

7.2.3. Ядро урана  ${}^{235}_{92}\text{U}$  (ядерное топливо для электростанций), которое захватило один нейтрон, разделилось на два осколка. При этом освободилось два нейтрона. Одним из осколков оказалось ядро ксенона  ${}^{140}_{54}\text{Xe}$ . Определить порядковый номер и массовое число второго осколка.

7.2.4. Определить интенсивность  $I$  гамма-излучения на расстоянии  $r = 5$  см от точечного изотропного радиоактивного источника, имеющего активность  $A = 148$  ГБк. Считать, что при каждом акте распада излучается в среднем  $n = 1,8$   $\gamma$ -фотонов с энергией  $\varepsilon = 0,51$  МэВ каждый.

7.2.5. В кровь человека ввели небольшое количество раствора, который содержит радиоактивный изотоп натрия с активностью  $A_0 = 2,0 \cdot 10^3$  Бк. Активность  $V = 1$  см<sup>3</sup> крови через  $t = 5$  ч  $A = 0,267$  Бк/см<sup>3</sup>. Период полураспада данного изотопа  $T = 15$  ч. Найти объем крови человека.

7.2.6. Найти толщину слоя половинного поглощения  $l_{1/2}$   $\gamma$ -частиц, которые излучаются радиоактивным препаратом изотопа фосфора, для воздуха, алюминия и свинца, если линейные коэффициенты поглощения  $\mu_1 = 0,0138$  см<sup>-1</sup>,  $\mu_2 = 26,8$  см<sup>-1</sup>,  $\mu_3 = 121$  см<sup>-1</sup> соответственно.

### Вариант 7.3

7.3.1. Учитывая, что при одном акте распада ядра  ${}_{92}^{235}\text{U}$  освобождается энергия  $\varepsilon_0 = 200$  МэВ, определить энергию  $\varepsilon$ , которая выделяется при распаде  $m = 1$  кг урана, и массу каменного угля с удельной теплотворной способностью  $q = 3 \cdot 10^7$  Дж/кг, эквивалентную в тепловом отношении одному килограмму урана.

7.3.2. Ядро изотопа кобальта  ${}_{27}^{60}\text{Co}$  выбросило позитрон. В какое ядро превратилось ядро кобальта?

7.3.3. Как изменится активность препарата кобальта  ${}_{27}^{63}\text{Co}$  за промежуток времени  $t = 13,7$  с? Период полураспада кобальта  ${}_{27}^{63}\text{Co}$   $T = 27,4$  с.

7.3.4. На расстоянии  $r_1 = 10$  см от точечного источника  $\gamma$ -излучения мощность экспозиционной дозы  $\dot{X} = 0,2$  Р/мин. На каком наименьшем расстоянии от источника экспозиционная доза излучения  $X$  за шестичасовой рабочий день не превышает границы допустимой дозы  $X_{дон} = 0,02$  Р? Поглощением лучей в воздухе пренебречь.

7.3.5. Определить толщину слоя половинного ослабления параллельного пучка рентгеновского излучения для свинца, воды, воздуха. Линейные коэффициенты ослабления этого излучения для свинца, воды и воздуха  $\mu_1 = 10645$  м<sup>-1</sup>,  $\mu_2 = 137$  м<sup>-1</sup>,  $\mu_3 = 0,159$  м<sup>-1</sup> соответственно.

7.3.6. Определить возраст изделия из дерева, если известно, что активность  $A$  образца из этого изделия по изотопу углерода  ${}^1_6\text{C}$  в три раза меньше активности  $A_0$  свежей древесины. Период полураспада изотопа  ${}^{14}_6\text{C}$   $T = 5730$  лет.

### Вариант 7.4

7.4.1. Радиоизотоп  ${}_{15}^{32}\text{P}$ , период полураспада которого  $T = 14,3$  сут, возникает в ядерном реакторе со скоростью  $q = 2,7 \cdot 10^9$  ядер/с. Через какое время  $t$  после начала создания этого радиоизотопа его активность  $A = 1,0 \cdot 10^9$  Бк?

7.4.2. В результате распада изотопа радия  ${}_{88}^{226}\text{Ra}$  массой  $m = 1,0$  г за промежуток времени  $t = 1$  год возникло некоторое количество гелия  ${}_{2}^4\text{He}$ , который занимает при нормальных условиях  $V = 43,06$  мм<sup>3</sup> ( $p_0 = 1,01 \cdot 10^5$  Па,  $T_0 = 273$  К). Определить при этих условиях постоянную Авогадро. Период полураспада  ${}_{88}^{226}\text{Ra}$   $T = 1600$  лет.

7.4.3. На сколько процентов снизится активность иридия  ${}_{77}^{192}\text{Ir}$  через месяц? Период его полураспада  $T = 74$  сут.

7.4.4. Под действием космических лучей в каждом кубическом сантиметре ( $V = 10^{-6}$  м<sup>3</sup>) воздуха ( $\rho = 1,29$  кг/м<sup>3</sup>) на уровне моря возникает в среднем две пары однозарядных ( $q = 1,6 \cdot 10^{-19}$  Кл) ионов за время  $t_1 = 1$  с. Определить в рентгенах экспозиционную дозу  $X$  излучения, действие которого испытывает человек за время  $t_2 = 1$  сут.

7.4.5. Какая масса урана  ${}_{92}^{235}\text{U}$  расходуется за промежуток времени  $t = 1$  сут на атомной электростанции мощностью  $P = 5$  МВт? Коэффициент полезного действия  $\eta = 17$  %. Считать, что в каждом акте выделяется энергия  $\varepsilon_0 = 200$  МэВ.

7.4.6. Определить возраст деревянных предметов, если активность изотопа углерода  ${}_{6}^{14}\text{C}$  в них  $k = 0,6$  удельной активности этого же изотопа в только что срубленных деревьях. Период полураспада  ${}_{6}^{14}\text{C}$   $T = 5730$  лет.

## ФУНДАМЕНТАЛЬНЫЕ ФИЗИЧЕСКИЕ ПОСТОЯННЫЕ

В приложении представлены значения фундаментальных физических постоянных, рекомендованных рабочей группой CODATA (2010 г.).

| Название  | Обозначение                                     | Значение постоянной  |
|---|---|--|
| Скорость света в вакууме                        | $c$   | <b>299792458 м/с</b>   |
| Электрическая постоянная                        | $\epsilon_0$                                    | <b><math>8,854187817 \cdot 10^{-12}</math> Ф/м</b>   |
| Магнитная постоянная                            | $\mu_0$   | <b><math>4\pi \cdot 10^{-7}</math> Гн/м</b>  |
| Гравитационная постоянная                       | $G$   | <b><math>6,67384 \cdot 10^{-11}</math> м<sup>3</sup>/((кг·с<sup>2</sup>))</b>                              |
| Элементарный заряд                              | $e$   | <b><math>1,602176565 \cdot 10^{-19}</math> Кл</b>  |
| Постоянная Планка                               | $h$   | <b><math>6,62606957 \cdot 10^{-34}</math> Дж·с</b>   |
|   | $\hbar = \frac{h}{2\pi}$                        | <b><math>1,054571726 \cdot 10^{-34}</math> Дж·с</b>  |
| Постоянная Авогадро                             | $N_A$   | <b><math>6,02214129 \cdot 10^{23}</math> моль<sup>-1</sup></b>   |
| Газовая постоянная                              | $R$   | <b><math>8,3144621</math> Дж/(моль·К)</b>  |
| Постоянная Больцмана                            | $k = \frac{R}{N_A}$                             | <b><math>1,3806488 \cdot 10^{-23}</math> Дж/К</b>  |
| Атомная единица массы                           | $\text{а.е.м.} = \frac{1}{12} m(^{12}\text{C})$ | <b><math>1,660538921 \cdot 10^{-27}</math> кг</b>  |
| Энергетический эквивалент атомной единицы массы | $\text{а.е.м.} \cdot c^2$                       | <b><math>1,492417954 \cdot 10^{-10}</math> Дж<br/><b>931,494061 МэВ</b></b>                                |
| Масса покоя электрона                           | $m_e$   | <b><math>9,10938291 \cdot 10^{-31}</math> кг<br/><b><math>5,4857990946 \cdot 10^{-4}</math> а.е.м.</b></b> |
| Энергия покоя электрона                         | $m_e c^2$                                       | <b><math>8,18710506 \cdot 10^{-14}</math> Дж<br/><b>0,510998928 МэВ</b></b>                                |

| Название                            | Обозначение   | Значение постоянной   |
|-------------------------------------|---|---|
| Масса покоя протона                 | $m_p$   | $1,672621777 \cdot 10^{-27}$ кг<br>$1,007276466812$ а.е.м.    |
| Энергия покоя протона               | $m_p c^2$   | $1,503277484 \cdot 10^{-10}$ Дж<br>$938,272046$ МэВ           |
| Масса покоя нейтрона                | $m_n$   | $1,674927351 \cdot 10^{-27}$ кг<br>$1,00866491600$ а.е.м.     |
| Энергия покоя нейтрона              | $m_n c^2$   | $1,505349631 \cdot 10^{-10}$ Дж<br>$939,565379$ МэВ           |
| Масса атома водорода ${}^1H$        | $m({}^1H)$  | $1,673532691 \cdot 10^{-27}$ кг<br>$1,00782503207$ а.е.м.     |
| Комптоновская длина волны электрона | $\lambda_C = \frac{h}{m_e c}$   | $2,4263102389 \cdot 10^{-12}$ м                               |
| Постоянная тонкой структуры         | $\alpha = \frac{e^2}{4\pi\epsilon_0 \hbar c}$   | $7,2973525698 \cdot 10^{-3}$                                  |
| Постоянная Ридберга                 | $R_\infty = \frac{\alpha^2 m_e c}{2h} = \frac{m_e e^4}{64\pi^3 \epsilon_0^2 \hbar^3 c}$ | $10973731,568539$ м <sup>-1</sup>                             |
|                                     | $R_\infty c$  | $3,289841960364 \cdot 10^{15}$ Гц                             |
| Боровский радиус                    | $a_0 = \frac{\alpha}{4\pi R_\infty} = \frac{4\pi\epsilon_0 \hbar^2}{m_e e^2}$           | $0,52917721092 \cdot 10^{-10}$ м                              |
| Классический радиус электрона       | $r_e = \alpha^2 a_0$  | $2,8179402894 \cdot 10^{-15}$ м                               |
| Магнетон Бора                       | $\mu_B = \frac{e\hbar}{2m_e}$   | $927,400968 \cdot 10^{-26}$ Дж/Тл                             |
| Ядерный магнетон                    | $\mu_Y = \frac{e\hbar}{2m_p}$   | $5,05078353 \cdot 10^{-27}$ Дж/Тл                             |
| Постоянная Стефана – Больцмана      | $\sigma = \frac{2\pi^5 k^4}{15c^2 h^3}$   | $5,670373 \cdot 10^{-8}$ Вт/(м <sup>2</sup> ·К <sup>4</sup> ) |
| Постоянная закона смещения Вина     | $b = \lambda_{max} T$   | $2,897721 \cdot 10^{-3}$ м·К                                  |
|                                     | $b' = \nu_{max} / T$  | $5,8789254 \cdot 10^{10}$ Гц/К                                |

## ОТВЕТЫ

### Занятие 1

1.1.1. а)  $\Delta = 2d n_2 + (l - 2d)n_3 - l n_1 = 28,12 \text{ мм};$

б)  $\lambda_3 = \frac{n_1 \lambda_1}{n_3} = 451,1 \text{ нм};$       в)  $\Delta\Phi = \frac{2\pi \Delta}{\lambda_1 n_1} = 2,80 \cdot 10^5 \text{ рад}.$

1.1.2.  $d = \frac{\lambda L}{\Delta x} = 0,4 \text{ мм}.$

1.1.3.  $n = 1 + \frac{m\lambda}{l} \approx 1,0000773.$

1.1.4.  $d = \frac{\lambda}{4\sqrt{n^2 - \sin^2 \alpha}} \approx 0,13 \text{ мкм}.$       1.1.5.  $d_{\min} = \frac{\lambda}{4n_1} \approx 0,11 \text{ мкм}.$

1.1.6.  $n = \frac{mR\lambda}{r_m^2} \approx 1,33.$

1.2.1.  $\Delta = d \left( \sqrt{n^2 - \sin^2 \alpha} - \cos \alpha \right) = 548,2 \text{ мкм}.$

1.2.2. а)  $\lambda_k = 0,65 \text{ мкм};$  б)  $\lambda_c = 0,45 \text{ мкм}.$       1.2.3.  $n = 1 + \frac{m\lambda}{2l} \approx 1,000379.$

1.2.4. а)  $d_{\min} = \frac{\lambda}{4n} = 0,125 \text{ мкм};$  б)  $d_{\min} = \frac{\lambda}{2n} = 0,25 \text{ мкм}.$

1.2.5.  $\frac{N}{l} = \frac{2\gamma n}{\lambda} = 5 \text{ см}^{-1}.$

1.2.6.  $\lambda = \frac{l}{8R} = 0,675 \text{ мкм}.$

1.3.1.  $\Delta\Phi \approx \frac{2\pi}{\lambda} d \sin \Theta.$

1.3.2.  $\Delta x = \frac{\lambda L}{2h} = 0,25 \text{ мм}.$

1.3.3.  $I = 4I_0 \cos^2 \left( \frac{\pi d n x}{\lambda L} \right); \langle I \rangle = 2I_0.$

1.3.4.  $\lambda = \frac{4}{3} d \sqrt{n^2 - \sin^2 \alpha};$

а)  $\lambda \approx 640 \text{ нм}$  (красный); б)  $\lambda \approx 538 \text{ нм}$  (зеленый).

1.3.5.  $\gamma = \frac{N\lambda}{2nl} = 40''.$

1.3.6.  $l_2 = 3,7 \text{ мм}.$

1.4.1. а)  $m = \frac{l^2}{2\lambda L} = 2$  (максимум освещенности); б)  $n = 1 + \frac{\Delta}{d} = 1,5$ .

1.4.2. а)  $\Theta = \frac{(a+b)\lambda}{2a(n-1)\Delta x} = 14,3'$ ; б)  $N_{max} \leq \frac{(a+b)b\lambda}{a(\Delta x)^2} \approx 7,29 \Rightarrow N_{max} = 7$ .

1.4.3.  $\Theta_{max} = \arcsin\left(\frac{mc}{vd}\right)$ ,  $m = 0, \pm 1, \pm 2$ ;

$\Theta_{max} = 0, 30, 90, 150, 180, 210, 270, 330^\circ$ .

1.4.4.  $\lambda = \frac{4}{5}nd = 480$  нм. 1.4.5.  $\gamma = \frac{5\lambda}{2nl} = 10,6''$ . 1.4.6.  $N = \frac{2h}{\lambda} = 400$ .

## Занятие 2

2.1.1.  $b = \frac{aR^2}{am\lambda - R^2}$ ; а)  $b \rightarrow \infty$ ; б)  $b = 0,125$  м.

2.1.2.  $R = \sqrt{\frac{\lambda L}{2}} = 1$  мм. 2.1.3.  $N = 11$ . 2.1.4.  $L = \frac{2b\lambda_{красн}}{L_0} = 3,8$  см.

2.1.5.  $\lambda = \frac{al}{Nm\sqrt{L^2 + a^2}} = 590$  нм. 2.1.6.  $\theta = \arcsin\left(\frac{m\lambda}{2d}\right) = 31^\circ 40'$ .

2.2.1. а)  $m_{min} \geq \frac{R^2}{a\lambda} \approx 7,27 \Rightarrow m_{min} = 8$ ; б)  $b_m = \frac{aR^2}{am_{min}\lambda - R^2} = 10$  м;

в)  $R_1 \leq \sqrt{a\lambda} = 0,74$  мм.

2.2.2.  $b_{max} = \frac{D^2}{8\lambda} = 0,8$  м.

2.2.3.  $\varphi = 30^\circ$ .

2.2.4.  $a_{12} = \frac{\lambda L}{b} = 5$  мм;  $a_0 = \frac{2\lambda L}{b} = 1$  см.

2.2.5.  $m_{max} \leq \frac{l}{N\lambda} \approx 2,86 \Rightarrow m_{max} = 2$ . 2.2.6.  $\lambda = \frac{2\sin\theta}{m} \sqrt[3]{\frac{\mu}{2N_A\rho}} = 2,44$  Å.

$$2.3.1. L = \frac{D^2}{\lambda} = 167 \text{ м.} \quad 2.3.2. \lambda = \frac{b_2 - b_1}{b_2 b_1} R^2 = 500 \text{ нм.}$$

$$2.3.3. R = \sqrt{\frac{m\lambda F b}{b - F}} = 0,9\sqrt{m} \text{ мм, где } m = 1, 3, 5, \dots$$

$$2.3.4. \Delta\varphi = \frac{2\lambda}{b} = 34,4'; \quad \Delta x = \frac{2F\lambda}{b} = 2 \text{ мм.} \quad 2.3.5. \lambda_2 = 447 \text{ нм.}$$

$$2.3.6. \theta = \arccos(\cos\theta_0 + 0,4m), \text{ где } m = 0, \pm 1, -2, -3;$$

$$\theta \approx 26, 60, 84, 107, 134^\circ.$$

$$2.4.1. \text{ а) } I = 4I_0; \text{ б) } I = 2I_0; \text{ в) } I = 2I_0; \text{ г) } I = I_0.$$

$$2.4.2. b_2 = \frac{b_1}{n^2} = 1 \text{ м.} \quad 2.4.3. d = \frac{\lambda_{\text{красн}} - \lambda_{\text{фиол}}}{bD} = 0,7 \text{ мм.}$$

$$2.4.4. \varphi = \arcsin\left(\frac{m\lambda}{b} + \sin\varphi_0\right), \text{ где } m = \pm 1; \quad \varphi_+ = 33,4^\circ, \quad \varphi_- = 26,7^\circ.$$

$$2.4.5. a = \frac{N\lambda L}{\sqrt{l^2 - N^2\lambda^2}} \approx 13,1 \text{ см.}$$

$$2.4.6. \Delta\alpha = \arccos\left(\cos\alpha_0 - \frac{\lambda N}{l}\right) - \alpha_0 = 13,6'.$$

### Занятие 3

$$3.1.1. n = \text{ctg}\beta = 1,73. \quad 3.1.2. \varphi = \arccos\sqrt{\frac{2}{k}} = 45^\circ.$$

$$3.1.3. \varphi = \arccos\frac{\sqrt{2k_2}}{2k_1} = 30^\circ. \quad 3.1.4. v = \frac{\lambda_1^2 - \lambda_2^2}{\lambda_1^2 + \lambda_2^2} c = 0,324c.$$

$$3.1.5. T = \frac{4\pi\lambda_0 R}{c\Delta\lambda} \approx 25 \text{ суток.} \quad 3.1.6. v_{\min} = \frac{c}{n} = 2 \cdot 10^8 \text{ м/с.}$$

$$3.2.1. \alpha_B = \text{arctg}(\text{cosec}\alpha_{np}) = 54^\circ 44'. \quad 3.2.2. I = I_0 \cos^2\varphi_1 \cos^2(\varphi_2 - \varphi_1).$$

$$3.2.3. \text{ а) } \frac{I_0}{I_1} = \frac{2}{1-k} = 2,11; \quad \text{ б) } \frac{I_0}{I_2} = \frac{2}{(1-k)^2 \cos^2 \varphi} = 8,86.$$

$$3.2.4. \frac{I_0}{I} = 8. \quad 3.2.5. v = \frac{(\lambda_0 + \Delta\lambda)^2 - \lambda_0^2}{(\lambda_0 + \Delta\lambda)^2 + \lambda_0^2} c = 0,256 c.$$

$$3.2.6. E_{кин} = \left( \frac{n}{\sqrt{n^2 - 1}} - 1 \right) m_0 c^2 = 0,281 m_0 c^2;$$

$$\text{ а) } E_{кин} = 143,8 \text{ кэВ}; \quad \text{ б) } E_{кин} = 264 \text{ кэВ}.$$

$$3.3.1. n_2 = n_1 \operatorname{ctg} \alpha_B = 1,67. \quad 3.3.2. \frac{I_0}{I_3} = \frac{2}{k^3 \cos^4 \varphi} \approx 43,9.$$

$$3.3.3. \frac{I}{I_0} = \frac{(\cos \varphi)^{2(N-1)}}{2} = 0,119.$$

$$3.3.4. \frac{I_0 - I}{I_0} \cdot 100\% = \left( 1 - \exp\left(-\frac{d(\alpha_1 + \alpha_2)}{2}\right) \right) \cdot 100\% \approx 9,52 \%.$$

$$3.3.5. \Delta\lambda = \frac{\lambda_0 E_{кин}}{m_0 c^2} = 0,7 \text{ нм}.$$

$$3.3.6. E_{кин} = \left( \frac{n \cos \theta}{\sqrt{n^2 \cos^2 \theta - 1}} - 1 \right) m_0 c^2 = 290 \text{ кэВ}.$$

$$3.4.1. \gamma = 2 \operatorname{arctg}\left(\frac{1}{n}\right) = 66^\circ 41'. \quad 3.4.2. P = \sqrt{\frac{N-1}{N+1}} = 0,94.$$

$$3.4.3. W = \frac{\pi \Phi_0}{\omega} = 0,6 \text{ мДж}. \quad 3.4.4. E_{min} = \frac{1}{\sqrt{2Bl}} = 1,51 \text{ МВ/м}.$$

$$3.4.5. N = 4BlE^2 v = 275.$$

$$3.4.6. \Delta\lambda = \left( 1 + \cos \theta \sqrt{1 + \frac{2m_0 c^2}{E_{кин}}} \right) \frac{\lambda_0 E_{кин}}{m_0 c^2} \approx 27 \text{ нм}.$$

## Занятие 4

4.1.1.  $T_2 = \sqrt[4]{N} T_1 = 1000 \text{ К}$ .

4.1.2.  $\lambda_{max} \approx 1,45 \text{ мкм}$ ,  $r^*(\lambda, T) \approx 4,1 \cdot 10^{11} \text{ Вт/м}^3$ .

4.1.3.  $T = 4830 \text{ К}$ ,  $R^* \approx 30,9 \text{ МВт/м}^2$ .      4.1.4.  $T = \sqrt[4]{\frac{W}{\sigma S t}} \approx 1152 \text{ К}$ .

4.1.5. а)  $\lambda_{max} = 1 \text{ мкм}$  – инфракрасное излучение;

б)  $\lambda_{max} = 0,5 \text{ мкм}$  – видимое излучение (зеленый свет);

в)  $\lambda_{max} \approx 2,9 \text{ \AA}$  – рентгеновское излучение.

4.1.6.  $\frac{\Phi_2}{\Phi_1} = \left(\frac{\lambda_1}{\lambda_2}\right)^4 = 16$ .      4.2.1.  $\eta = 1 - \frac{\sigma S T^4}{P} = 0,433$ .      4.2.2.  $R = r_0 / \alpha$ .

4.2.3.  $a(\lambda, T) = \exp\left[\frac{hc}{\lambda k} \left(\frac{1}{T} - \frac{1}{T_{ярк}}\right)\right]$ .      4.2.4.  $S = \frac{P}{\sigma \alpha(T) T^4} \approx 0,41 \text{ мм}^2$ .

4.2.5.  $T_2 = \frac{T_1}{1 + \frac{\Delta \lambda T_1}{b}} = 1449 \text{ К}$ .      4.2.6.  $T_2 = T_1 \sqrt{\frac{d}{2l}} = 340 \text{ К}$ .

4.3.1.  $I = \frac{\pi \sigma \alpha(T) d L T^4}{U} \approx 0,143 \text{ А}$ .      4.3.2.  $\lambda_{max_2} = \frac{\lambda_{max_1}}{\sqrt[4]{n}}$ .

4.3.3.  $T = T_{\odot} \sqrt{\frac{R_{\odot}}{L}} \approx 395 \text{ К}$ .

4.3.4.  $\frac{R_2^*}{R_1^*} = \left(\frac{\lambda}{\lambda - \Delta \lambda}\right)^4 = 16$ ,  $\frac{r_{max_2}^*(\lambda, T)}{r_{max_1}^*(\lambda, T)} = \left(\frac{\lambda}{\lambda - \Delta \lambda}\right)^5 = 32$ .

4.3.5.  $j = \frac{2\pi hc^2 \Delta \lambda T^5}{b^5 \left[\exp\left(\frac{hc}{kb}\right) - 1\right]} \approx 3,1 \frac{\text{кВт}}{\text{м}^2}$ .      4.3.6.  $\eta \approx 1,15$ .

$$4.4.1. t = \frac{c\rho d(\eta^3 - 1)}{18\sigma T_0^3} = 3 \text{ ч.} \quad 4.4.2. T_{\oplus} = T_{\odot} \sqrt{\frac{R_{\odot}}{2L}} \approx 279 \text{ К.}$$

$$4.4.3. d_2 = d_1 \left( \frac{T_1^4 (1 + \alpha T_1)}{T_2^4 (1 + \alpha T_2)} \right)^{\frac{1}{3}} \approx 54 \text{ мкм.} \quad 4.4.4. \frac{\Delta R^*}{R} \approx 4 \frac{\Delta T}{T} = 4 \%.$$

4.4.5. При данных условиях  $hc/\lambda \gg kT$ . Поэтому

$$x \approx \left( \frac{\lambda_2}{\lambda_1} \right)^5 \exp \left[ \frac{hc}{kT} \left( \frac{1}{\lambda_2} - \frac{1}{\lambda_1} \right) \right] = 2,9, \text{ где } \lambda_1 = 700 \text{ нм, } \lambda_2 = 400 \text{ нм.}$$

$$4.4.6. \langle w \rangle = \frac{\sigma T^4 R^2}{cr^2}.$$

## Занятие 5

$$5.1.1. \frac{N}{t} = \frac{P\lambda}{hc} = 10^{16} \text{ с}^{-1}.$$

$$5.1.2. \text{ а) } A = \frac{hc}{\lambda_{max}} = 3,73 \text{ эВ;} \quad \text{ б) } \lambda = \frac{\lambda_{max}}{1 + \frac{eU_3 \lambda_{max}}{hc}} = 262 \text{ нм.}$$

$$5.1.3. p = 1,2 \cdot 10^{-5} \text{ Па.} \quad 5.1.4. W_e = \frac{\eta \varepsilon_f}{1 + \eta} = 0,2 \text{ МэВ.}$$

$$5.1.5. \varepsilon'_f = \frac{m_e c^2}{2} = 0,255 \text{ МэВ; } p'_f = \frac{m_e c}{2} = 1,37 \cdot 10^{-22} \text{ кг} \cdot \text{м/с.}$$

$$5.1.6. U_0 = \frac{(\eta - 1)hc}{e\eta \Delta \lambda} = 15,9 \text{ кВ.}$$

$$5.2.1. \lambda = \frac{h}{\sqrt{2kMT}} = 126 \text{ пм} - \text{ рентгеновский диапазон.}$$

$$5.2.2. U_{3min} = \frac{1}{e} \left( \frac{hc}{\lambda} - A \right) = 3,9 \text{ В.}$$

$$5.2.3. \rho = \frac{4E(1+\rho)}{\pi cd^2\tau} = 4,9 \text{ МПа} = 49 \text{ атм.}$$

$$5.2.4. \varepsilon'_f = \frac{\varepsilon_f}{1 + \frac{2\varepsilon_f}{m_e c^2} \sin^2 \frac{\theta}{2}} = 0,144 \text{ МэВ.}$$

$$5.2.5. \lambda = \frac{2h}{m_e c(\eta-1)} \left( \sin^2 \frac{\theta_2}{2} - \eta \sin^2 \frac{\theta_1}{2} \right) = 1,21 \text{ пм.}$$

$$5.2.6. \lambda_{min} = \frac{h \sqrt{1 - \frac{v^2}{c^2}}}{m_e c \left( 1 - \sqrt{1 - \frac{v^2}{c^2}} \right)} = 2,7 \text{ пм.}$$

$$5.3.1. \langle I \rangle = \frac{P\lambda}{4\pi chr^2} = 2,94 \cdot 10^{18} \text{ м}^{-2} \cdot \text{с}^{-1}. \quad 5.3.2. \varphi = \frac{1}{e} \left( \frac{hc}{\lambda} - A \right) = 2,46 \text{ В.}$$

$$5.3.3. \Delta p = \frac{E}{c}(1+\rho) = 4 \cdot 10^{-8} \text{ Н} \cdot \text{с}. \quad 5.3.4. \theta = 2 \arcsin \sqrt{\frac{m_e c(p_f - p'_f)}{2p_f p'_f}} = 120^\circ.$$

$$5.3.5. \text{ а) } \Delta\lambda = \lambda_C = 2,43 \text{ пм}; \quad \text{ б) } W_e = \frac{hc\Delta\lambda}{\lambda(\lambda + \Delta\lambda)} = 6,7 \text{ кэВ};$$

$$\text{ в) } p_e = h \frac{\sqrt{\lambda^2 + (\lambda + \Delta\lambda)^2}}{\lambda(\lambda + \Delta\lambda)} = 4,44 \cdot 10^{-23} \text{ кг} \cdot \text{м/с}.$$

$$5.3.6. U = \frac{hc}{2ed \sin \theta} = 31 \text{ кВ}. \quad 5.4.1. r = \frac{1}{2c} \sqrt{\frac{P\lambda}{\pi h\nu}} = 8,87 \text{ м.}$$

$$5.4.2. v_{max} = c \frac{\sqrt{1 + \frac{2m_e c\lambda}{h}}}{1 + \frac{m_e c\lambda}{h}} = 2,87 \cdot 10^8 \text{ м/с.}$$

$$5.4.3. p = \frac{\varepsilon_f}{c} + \sqrt{2m_e(\varepsilon_f - A)} = 1,25 \cdot 10^{-24} \text{ кг} \cdot \text{м/с}.$$

$$5.4.4. \alpha = 2 \arcsin \frac{E}{cm\sqrt{gl}} = 30'. \quad 5.4.5. \lambda = \frac{h}{m_e c} \left( \sqrt{1 + \frac{2m_e c^2}{W_{max}}} - 1 \right) = 3,7 \text{ пм}.$$

$$5.4.6. U = \frac{3hc}{2e\lambda_{max}} = 35 \text{ кВ}.$$

## Занятие 6

$$6.1.1. \text{ а) } \lambda_B = 2 \cdot 10^{-14} \text{ м; б) } \lambda_B = 2,8 \cdot 10^{-11} \text{ м}.$$

$$6.1.2. \Delta x = \frac{2Lh}{bm v} = 1,46 \text{ мм}. \quad 6.1.3. \Delta v \geq 31,5 \text{ м/с}.$$

$$6.1.4. E_2 = \frac{\pi^2 \hbar^2 n_2^2}{2mL^2} = 9,43 \text{ эВ}, \quad \lambda = \frac{4mcL^2}{\pi \hbar (n_4^2 - n_2^2)} = 44 \text{ нм}.$$

$$6.1.5. P = 0,198. \quad 6.1.6. \Delta \varphi_{He^+} = 54 \text{ В}; \Delta \varphi_{Li^{++}} = 122 \text{ В}. \quad 6.2.1. v = \frac{c}{\sqrt{2}}.$$

$$6.2.2. v = \frac{2Lh}{\sqrt{(m_0 b \Delta x)^2 + \left(\frac{2Lh}{c}\right)^2}} = 2 \cdot 10^6 \frac{\text{м}}{\text{с}}.$$

$$6.2.3. \text{ а) } \Delta x \geq 6 \cdot 10^{-3} \text{ м; б) } \Delta x \geq 5 \cdot 10^{-17} \text{ м; в) } \Delta x \geq 5 \cdot 10^{-29} \text{ м}.$$

$$6.2.4. L = \pi \hbar \sqrt{\frac{3}{2m\Delta E}} = 10,6 \text{ \AA}. \quad 6.2.5. D \sim \left\{ -\frac{4L\sqrt{2m}}{3\hbar U_0} (U_0 - E)^{3/2} \right\}.$$

$$6.2.6. Li (Z = 3). \quad 6.3.1. \Delta E = \frac{(N^2 - 1)h}{2m\lambda_B^2} = 11,3 \text{ кэВ}.$$

$$6.3.2. U = \frac{h^2}{8med^4 \sin^2 \theta} = 400 \text{ В}. \quad 6.3.3. \Delta E \geq 3 \cdot 10^{-8} \text{ эВ}. \quad 6.3.4. P = 0,091.$$

$$6.3.5. \alpha = \frac{m\omega}{2\hbar}; \quad E = \frac{\hbar\omega}{2}, \text{ где } \omega = \sqrt{\frac{\kappa}{m}}. \quad 6.3.6. n = \left[ 1 - \frac{c(\lambda_1 + \lambda_2)}{R_\infty Z^2 \lambda_1 \lambda_2} \right]^{\frac{1}{2}} = 5.$$

$$6.4.1. \lambda = \frac{\lambda_{min}}{\sqrt{1 + \frac{2me\lambda_{min}}{\hbar}}} = 3,3 \text{ пм}. \quad 6.4.2. \Delta x = \frac{hL}{d\sqrt{2mE_k}} = 7,4 \text{ мкм}.$$

$$6.4.3. \Delta E_k \geq \frac{\hbar}{2L} \sqrt{\frac{2E_k}{m}}, \quad \Delta E_k \geq 4 \cdot 10^{-4} \text{ эВ}. \quad 6.4.4. F = \frac{\pi^2 \hbar^2}{mL^3} = 1,2 \cdot 10^{-7} \text{ Н}.$$

$$6.4.5. D \sim \exp \left\{ -\frac{\pi L}{\hbar} \sqrt{\frac{2m}{U_0}} (U_0 - E) \right\}. \quad 6.4.6. v = \frac{3R_\infty h}{4m({}^1H)} = 3,26 \text{ м/с}.$$

## Занятие 7

$$7.1.1. \omega_{36} = 8 \text{ МэВ/нуклон}. \quad 7.1.2. N = 29. \quad 7.1.3. n = 10. \quad 7.1.4. N = 8.$$

$$7.1.5. Q = \frac{mN_A \varepsilon_k}{\mu({}^{210}\text{Po})} \left( 1 - \frac{1}{e} \right) = 1,57 \text{ МДж}.$$

$$7.1.6. t = \frac{X_{дон} r_2^2}{\dot{X} r_1^2} = 4,5 \text{ мин}.$$

$$7.2.1. Q = 0,575 \text{ ТДж}; \quad m \approx 19,2 \text{ т}. \quad 7.2.2. N = 9. \quad 7.2.3. {}_{38}^{94}\text{Sr}.$$

$$7.2.4. I = \frac{A\varepsilon n}{4\pi r^2} = 0,6 \text{ Вт/м}^2. \quad 7.2.5. V = \frac{A_0}{A} e^{-\frac{\ln 2}{T} t} = 5,95 \text{ л}.$$

$$7.2.6. \text{ а) } l_1 = 50 \text{ см}; \quad \text{ б) } l_2 = 2,4 \cdot 10^2 \text{ см}; \quad \text{ в) } l_3 = 5,7 \cdot 10^{-3} \text{ см}.$$

$$7.3.1. \varepsilon = \frac{mN_A \varepsilon_0}{\mu({}^{235}\text{U})} = 8,2 \cdot 10^{13} \text{ Дж}; \quad m = \frac{\varepsilon}{q} = 2,73 \cdot 10^6 \text{ кг}.$$

$$7.3.2. {}^{60}_{28}\text{Ni}. \quad 7.3.3. \frac{A}{A_0} = 0,71. \quad 7.3.4. r_2 = r_1 \sqrt{\frac{\dot{X}t}{X_{don}}} = 6 \text{ м.}$$

$$7.3.5. \text{а) } l_1 = 6,5 \cdot 10^{-2} \text{ мм; б) } l_1 = 5,1 \text{ мм; } l_3 = 4,4 \text{ м.}$$

$$7.3.6. t = T \frac{\ln 3}{\ln 2} = 9082 \text{ года.} \quad 7.4.1. t = -\frac{T}{\ln 2} \ln \left( 1 - \frac{A}{q} \right) = 9,5 \text{ сут.}$$

$$7.4.2. N_A = \frac{p_0 V \mu({}^{226}\text{Ra}) T}{\ln 2 k m t T_0} = 6,02 \cdot 10^{23} \text{ моль}^{-1}.$$

$$7.4.3. \frac{\Delta A}{A_0} = 1 - e^{-\frac{\ln 2}{T} t} = 25 \%.$$

$$7.4.4. X = \frac{2qt_2}{\rho V t_1} = 83 \text{ мкР.} \quad 7.4.5. m = \frac{Pt \mu({}^{235}\text{U})}{\eta \varepsilon_0 N_A} = 31 \text{ г.}$$

$$7.4.6. t = -T \frac{\ln k}{\ln 2} = 4223 \text{ года.}$$

## Библиографический список

Беликов, Б.С. Решение задач по физике. Общие методы [Текст] / Б.С. Беликов. – М.: Высш. шк., 1986. – 256 с.

Волькенштейн, В.С. Сборник задач по общему курсу физики [Текст] / В.С. Волькенштейн. – М.: Наука, 1990. – 398 с.

ДСТУ 3651.1-97 Метрологія. Одиниці фізичних величин. Похідні одиниці фізичних величин Міжнародної системи одиниць та позасистемні одиниці. Основні поняття, назви та позначення. – Введено вперше зі скасуванням в Україні ГОСТ 8.417-81; чинний з 09.10.1997. – К.: Держстандарт України, 1998. – 76 с.

Загальна фізика [Текст]: зб. задач / за ред. І.Т. Горбачука. – К.: Вища шк., 1993. – 360 с.

Иродов, И.Е. Задачи по общей физике [Текст] / И.Е. Иродов. – 2-е изд. – М.: Наука, 1988. – 416 с.

Mohr, P.J. The 2010 CODATA Recommended Values of the Fundamental Physical Constants (Web Version 6.0) [Электронный ресурс]// P.J. Mohr, B.N. Taylor, D.V. Newell; developed by J. Baker, M. Douma, S. Kotochigova. – National Institute of Standards and Technology, Gaithersburg, MD 20899, 2011 – Режим доступа: <http://physics.nist.gov/constants>.

Савельев, И.В. Курс общей физики [Текст]: учеб. пособие для вузов: в 5 т. / И.В. Савельев. – М.: Астрель, АСТ, 2002. – Т. 4: Волны. Оптика. – 256 с.

Савельев, И.В. Курс общей физики [Текст]: учеб. пособие для вузов: в 5 т. / И.В. Савельев. – М.: Астрель, АСТ, 2002. – Т. 5: Квантовая оптика. Атомная физика. Физика твердого тела. Физика атомного ядра и элементарных частиц. – 368 с.

Савельев, И.В. Сборник вопросов и задач по общей физике [Текст] / И.В. Савельев. – 2-е изд. – М.: Наука, 1988. – 288 с.

Сборник качественных вопросов и задач по общей физике [Текст]: учеб. пособие для вузов / Е.И. Бабаджан, В.И. Гервидс, В.М. Дубовик, Э.А. Некресов. – М.: Наука, 1990. – 400 с.

Сена, Л.А. Единицы физических величин и их размерности [Текст] / Л.А. Сена. – 3-е изд. – М.: Наука, 1988. – 432 с.

Физика. Тесты, примеры и методика решения задач [Текст]: учеб. пособие для самост. работы / Н.И. Глущенко, О.И. Петрова, А.А. Таран и др. – 3-е изд. – Х.: Нац. аэрокосм. ун-т «Харьк. авиац. ин-т», 2010. – 204 с.

Хвильова і квантова оптика. Основи квантової механіки та фізики ядра [Текст]: навч. посіб. до практ. занять / В.Г. Падалка, А.О. Таран, А.В. Попов, М.І. Глущенко. – Х.: Нац. аэрокосм. ун-т «Харк. авиац. ін-т», 1996. – 68 с.

Чертов, А.Г. Задачник по физике [Текст]: учеб. пособие / А.Г. Чертов, А.А. Воробьев. – 5-е изд. – М.: Высш. шк., 1988 – 526 с.

## Содержание

|   |    |
|---|----|
| Алгоритм решения задач.....   | 3  |
| Занятие 1. Интерференция света.....   | 4  |
| Занятие 2. Дифракция света.....   | 11 |
| Занятие 3. Поляризация света. Эффект Доплера.<br>Эффект Вавилова – Черенкова..... | 18 |
| Занятие 4. Тепловое излучение.....  | 26 |
| Занятие 5. Квантовые свойства света.....  | 32 |
| Занятие 6. Основы квантовой механики.....   | 42 |
| Занятие 7. Элементы ядерной физики.....   | 50 |
| Приложение. Фундаментальные физические постоянные.....                            | 58 |
| Ответы.....   | 60 |
| Библиографический список.....   | 70 |

Навчальне видання

**Воронович Данііл Олександрович  
Глуценко Микола Іванович  
Петрова Ольга Іванівна  
Таран Анатолій Олексійович  
Вармінський Михайло Володимирович**

**ХВИЛЬОВА І КВАНТОВА ОПТИКА.  
ОСНОВИ КВАНТОВОЇ МЕХАНІКИ ТА ФІЗИКИ ЯДРА**

(Російською мовою)

Редактор А.М. Ємленінова

Зв. план, 2012

Підписано до друку 18.06.2012

Формат 60x84 1/16. Папір офс. № 2. Офс. друк

Ум. друк. арк. 4 . Обл.-вид. арк. 4,5 . Наклад 600 пр.

Замовлення 179 . Ціна вільна

---

Національний аерокосмічний університет ім. М.Є. Жуковського  
«Харківський авіаційний інститут»  
61070, Харків-70, вул. Чкалова, 17  
[http:// www.khai.edu](http://www.khai.edu)  
Видавничий центр «ХАІ»  
61070, Харків-70, вул. Чкалова, 17  
[izdat@khai.edu](mailto:izdat@khai.edu)

Свідоцтво про внесення суб'єкта видавничої справи до Державного реєстру  
видавців, виготовлювачів і розповсюджувачів видавничої продукції сер. ДК № 391  
від 30.03.2001